

# Peatükk 5

## Elastsussteooria tasandülesanne

### *5.1. Tasandülesande mõiste*

144

#### 5.1 Tasandülesande mõiste

Selleks, et iseloomustada *pingust* või *deformatsioni elastse keha punktis* kasutatakse peapinge ja peadeformatsiooni mõistet. Pinguse puhul eristatakse järgmisi kolme juhtu:

- *ruumpingus* — kõik kolm peapinget on nullist erinevad;
- *tasandpingus* — kaks peapinget on nullist erinevad;
- *joonpingus* — vaid üks peapinge on nullist erinev.

Analoogiliselt, st. läbi peadeformatsioonide, defineeritakse *ruum-, tasand- ja joondeformatsiooni*.

Üldjuhul võib nii pinguse kui deformatsiooni iseloom olla keha erinevates punktides erinev. Kui igas keha punktis on pingus (deformatsioon) sama ise-loomuga siis öeldakse, et kehas on *ühtlane pingus (deformatsioon)*.

Elastsussteorio ülesannet nimetatakse *tasandülesandeks* (ehk tasapinnaliseks ülesandeks) kui deformatsioon või pinge on kogu keha ulatuses tasapinnaline.

Vaadeldaval juhul on kõigis keha punktides deformatsioon tasapinnaline, st. üks peadeformatsioonidest on null. *Tasanddeformatsioon saab tekida kui siirded*

$$u = u(x, y), \quad v = v(x, y), \quad w = 0. \quad (5.1)$$

Vastavalt Cauchy seostele (4.2)

$$\begin{cases} \varepsilon_x = \frac{\partial u}{\partial x}, & \varepsilon_y = \frac{\partial v}{\partial y}, & \varepsilon_z = \frac{\partial w}{\partial z} = 0, \\ \gamma_{xy} = \frac{\partial u}{\partial y} + \frac{\partial v}{\partial x}, & \gamma_{yz} = \frac{\partial v}{\partial z} + \frac{\partial w}{\partial y} = 0, & \gamma_{xz} = \frac{\partial u}{\partial z} + \frac{\partial w}{\partial x} = 0. \end{cases} \quad (5.2)$$

Selline deformatsioonisiusund tekib pikas kehas, millele mõjub keha pinnaga ( $z$ -teljega) ristuv koormus.

*Näiteks:* pikk tugisein; (metroo)tunnel; pikk radiaalselt surutud völl; pilka plaadi silindriline paine (NB! Saint Venant'i printsipi).

### 5.2. Tasanddeformatsioon

Pingete leidmiseks kasutame üldistatud Hooke'i seadust nn. pöördkujul (4.4):

$$\begin{cases} \sigma_x = \lambda\theta + 2\mu\varepsilon_x = (\lambda + 2\mu)\varepsilon_x + \lambda\varepsilon_y, & \tau_{xy} = \mu\gamma_{xy}, \\ \sigma_y = \lambda\theta + 2\mu\varepsilon_y = \lambda\varepsilon_x + (\lambda + 2\mu)\varepsilon_y, & \tau_{yz} = \mu\gamma_{yz} = 0, \\ \sigma_z = \lambda\theta + 2\mu\varepsilon_z = \lambda(\varepsilon_x + \varepsilon_y), & \tau_{zx} = \mu\gamma_{zx} = 0. \end{cases} \quad (5.3)$$

Teisest küljest, arvestades Hooke'i seadust kujul (4.3), peab

$$\varepsilon_z = \frac{1}{E} [\sigma_z - \nu(\sigma_x + \sigma_y)] = 0,$$

kust saame

$$\sigma_z = \nu(\sigma_x + \sigma_y).$$

Kuna siirded  $u$  ja  $v$  sõltuvad vaid koordinaatidest  $x$  ja  $y$ , siis avaldiste (5.2) ja (5.3) põhjal ka pinge  $\sigma_z$  sõltub vaid koordinaatidest  $x$  ja  $y$ .

*Tasakaaluvõrrandid* (4.1):

$$\begin{cases} \frac{\partial \sigma_x}{\partial x} + \frac{\partial \tau_{yx}}{\partial y} + \frac{\partial \tau_{zx}}{\partial z} + X = 0, \\ \frac{\partial \tau_{xy}}{\partial x} + \frac{\partial \sigma_y}{\partial y} + \frac{\partial \tau_{zy}}{\partial z} + Y = 0, \\ \frac{\partial \tau_{xz}}{\partial x} + \frac{\partial \tau_{yz}}{\partial y} + \frac{\partial \sigma_z}{\partial z} + Z = 0. \end{cases}$$

Arvvestades ülesande sisu jäääb järgi kaks võrrandit

$$\begin{cases} \frac{\partial \sigma_x}{\partial x} + \frac{\partial \tau_{yx}}{\partial y} + X = 0, \\ \frac{\partial \tau_{xy}}{\partial x} + \frac{\partial \sigma_y}{\partial y} + Y = 0, \end{cases} \quad (5.4)$$

kusjuures ka mahujoud  $Z = 0$ .

### 5.2. Tasanddeformatsioon

*Rajatingimustest* (4.5)

$$\begin{cases} p_{\nu x} = \sigma_x l + \tau_{yx} m + \tau_{zx} n, \\ p_{\nu y} = \tau_{xy} l + \sigma_y m + \tau_{zy} n, \\ p_{\nu z} = \tau_{xz} l + \tau_{yz} m + \sigma_z n \end{cases}$$

jääb samuti alles 2 esimest võrrandit —

$$\begin{cases} p_{\nu x} = \sigma_x l + \tau_{yx} m, \\ p_{\nu y} = \tau_{xy} l + \sigma_y m; \end{cases} \quad (5.5)$$

- keha külgpind on paralleelne  $z$ -tejega ning seetõttu normaali suunakoo-sinus  $m = 0$ ;

- $p_{\nu z} = 0$  kuna muidu poleks meil tasanddeformatsiooni.

*Pidevusvõrranditest deformatsioonides* (4.6)

$$\left\{ \begin{array}{l} \frac{\partial^2 \varepsilon_x}{\partial y^2} + \frac{\partial^2 \varepsilon_y}{\partial x^2} = \frac{\partial^2 \gamma_{xy}}{\partial x \partial y}, \\ \frac{\partial^2 \varepsilon_y}{\partial z^2} + \frac{\partial^2 \varepsilon_z}{\partial y^2} = \frac{\partial^2 \gamma_{yz}}{\partial y \partial z}, \\ \frac{\partial^2 \varepsilon_z}{\partial x^2} + \frac{\partial^2 \varepsilon_x}{\partial z^2} = \frac{\partial^2 \gamma_{xz}}{\partial x \partial z}, \\ \frac{\partial}{\partial x} \left( \frac{\partial \gamma_{xz}}{\partial y} + \frac{\partial \gamma_{xy}}{\partial z} - \frac{\partial \gamma_{yz}}{\partial x} \right) = 2 \frac{\partial^2 \varepsilon_x}{\partial y \partial z}, \\ \frac{\partial}{\partial y} \left( \frac{\partial \gamma_{xy}}{\partial z} + \frac{\partial \gamma_{yz}}{\partial x} - \frac{\partial \gamma_{xz}}{\partial y} \right) = 2 \frac{\partial^2 \varepsilon_y}{\partial x \partial z}, \\ \frac{\partial}{\partial z} \left( \frac{\partial \gamma_{yz}}{\partial x} + \frac{\partial \gamma_{xz}}{\partial y} - \frac{\partial \gamma_{xy}}{\partial z} \right) = 2 \frac{\partial^2 \varepsilon_z}{\partial x \partial y} \end{array} \right.$$

jääb alles vaid esimene

$$\frac{\partial^2 \varepsilon_x}{\partial y^2} + \frac{\partial^2 \varepsilon_y}{\partial x^2} = \frac{\partial^2 \gamma_{xy}}{\partial x \partial y}. \quad (5.6)$$


---

### 5.3 Tasandpingus

Vaatleme olukorda, kus kõigis keha punktides üks peapingetest on null. Selisel juhul saame valida Descartes'i ristkoordinaadid nii, et

$$\sigma_x = \sigma_x(x, y), \quad \sigma_y = \sigma_y(x, y), \quad \tau_{xy} = \tau_{xy}(x, y), \quad \sigma_z = \tau_{xz} = \tau_{yz} = 0. \quad (5.7)$$

Selline pingus tekib näiteks õhukeses plaadis, millele mõjub servades raken datud koormus, mis on risti  $z$ -teljega.

Üldistatud Hooke'i seadusest (4.3) saame

$$\left\{ \begin{array}{l} \varepsilon_x = \frac{1}{E} [\sigma_x - \nu(\sigma_y + \sigma_z)] = \frac{\sigma_x - \nu\sigma_y}{E}, \quad \gamma_{xy} = \frac{\tau_{xy}}{G}, \\ \varepsilon_y = \frac{1}{E} [\sigma_y - \nu(\sigma_z + \sigma_x)] = \frac{\sigma_y - \nu\sigma_x}{E}, \quad \gamma_{yz} = \frac{\tau_{yz}}{G} = 0, \\ \varepsilon_z = \frac{1}{E} [\sigma_z - \nu(\sigma_x + \sigma_y)] = -\nu \frac{\sigma_x + \sigma_y}{E}, \quad \gamma_{zx} = \frac{\tau_{zx}}{G} = 0. \end{array} \right. \quad (5.8)$$

Tasakaaluvõrandid on tasandpinguse korral samad kui olid tasanddeformat siooni korral, st. esitatud kujul (5.4).

## 5.4 Tasandülesande lahendamine pingetes

Väga sageli lahendatakse elastsusteooria ülesanded pingetes, sest sellel meetodil on võrreldes siiretes lahendamisega mõned eelised:

- sageli ongi ülesande lahendina vaja leida vaid pingeid, siirded on teisejärgulise tähtsusega ning neid polegi vaja leida;
- üldjuhul on siirete avaldised võrreldes pingete avaldisega tunduvalt keerukamat.

*Tundmatud:* pingetensori komponendid  $\sigma_x, \sigma_y$  ja  $\tau_{xy}$ .

---

### 5.4. Tasandülesande lahendamine pingetes

---

Esmalt peame pidenvustingimuse (5.6)

$$\frac{\partial^2 \varepsilon_x}{\partial y^2} + \frac{\partial^2 \varepsilon_y}{\partial x^2} = \frac{\partial^2 \gamma_{xy}}{\partial x \partial y}.$$

avaldamma pingetes. Selleks kasutame üldistatud Hooke'i seadust kujul (5.8) kust leiate vajalikud osatuletised läbi pingete:

$$\left\{ \begin{array}{l} \frac{\partial^2 \varepsilon_x}{\partial y^2} = \frac{1}{E} \left( \frac{\partial^2 \sigma_x}{\partial y^2} - \nu \frac{\partial^2 \sigma_y}{\partial y^2} \right), \\ \frac{\partial^2 \varepsilon_y}{\partial x^2} = \frac{1}{E} \left( \frac{\partial^2 \sigma_y}{\partial x^2} - \nu \frac{\partial^2 \sigma_x}{\partial x^2} \right), \\ \frac{\partial^2 \gamma_{xy}}{\partial x \partial y} = \frac{1}{G} \frac{\partial^2 \tau_{xy}}{\partial x \partial y} = \frac{2(1+\nu)}{E} \frac{\partial^2 \tau_{xy}}{\partial x \partial y}. \end{array} \right. \quad (5.9)$$

Seega saab pidenvustingimus kuju

$$\left( \frac{\partial^2 \sigma_x}{\partial y^2} - \nu \frac{\partial^2 \sigma_y}{\partial y^2} \right) + \left( \frac{\partial^2 \sigma_y}{\partial x^2} - \nu \frac{\partial^2 \sigma_x}{\partial x^2} \right) = 2(1+\nu) \frac{\partial^2 \tau_{xy}}{\partial x \partial y}. \quad (5.10)$$

Viimastest avaldisest saab tasakaaluvõrrandite (5.4) abil ellimineerida nihkepinge. Selleks differentseerime (5.4)<sub>1</sub>  $x$  järgi ja (5.4)<sub>2</sub>  $y$  järgi

$$\begin{cases} \frac{\partial^2 \tau_{yx}}{\partial x \partial y} = -\frac{\partial^2 \sigma_x}{\partial x^2} - \frac{\partial X}{\partial x}, \\ \frac{\partial^2 \tau_{xy}}{\partial x \partial y} = -\frac{\partial^2 \sigma_y}{\partial y^2} - \frac{\partial Y}{\partial y}. \end{cases} \quad (5.11)$$

Eeldades, et mahujõu on konstantsed, saame viimaste liitmise tulemusena

$$2 \frac{\partial^2 \tau_{yx}}{\partial x \partial y} = -\frac{\partial^2 \sigma_x}{\partial x^2} - \frac{\partial^2 \sigma_y}{\partial y^2}. \quad (5.12)$$

Asendades viimase tulemuse pidevustingimuse (5.10) saame peale teisendusi

$$\frac{\partial^2 (\sigma_x + \sigma_y)}{\partial x^2} + \frac{\partial^2 (\sigma_x + \sigma_y)}{\partial y^2} = 0. \quad (5.13)$$

Kasutades Laplace'i operaatorit  $\nabla^2$  saame väljendada *tasandülesande pidenvustingimuse pingetes* kujul

$$\nabla^2 (\sigma_x + \sigma_y) = 0. \quad (5.14)$$

#### *5.4. Tasandülesande lahendamine pingetes*

154

Tasandülesande lahendamine pingetes lihtsustub oluliselt kui tuua sisse *Airy*'pingefunktsoon  $\varphi(x, y)$ , mis on seotud pingekomponentidega järgmisel kujul:

$$\sigma_x = \frac{\partial^2 \varphi}{\partial y^2}; \quad \sigma_y = \frac{\partial^2 \varphi}{\partial x^2}; \quad \tau_{yx} = -\frac{\partial^2 \varphi}{\partial x \partial y} - XY - YX, \quad (5.15)$$

kus  $X$  ja  $Y$  on konstantsed mahujõud. Alternatiivne võimalus siduda pingekomponendid ja pingefunktsoon:

$$\sigma_x = \frac{\partial^2 \varphi}{\partial y^2} - Xx; \quad \sigma_y = \frac{\partial^2 \varphi}{\partial x^2} - Yy; \quad \tau_{yx} = -\frac{\partial^2 \varphi}{\partial x \partial y}. \quad (5.16)$$

Nii (5.15) kui (5.16) korral on tasakaaluvõrrandid (5.4) automaatselt rahuldatud. Pannes selliselt defineeritud pingekomponendid pidevustingimuse (5.14) saame *biharmonilise võrrandi*

$$\nabla^2 \left( \frac{\partial^2 \varphi}{\partial x^2} + \frac{\partial^2 \varphi}{\partial y^2} \right) = \nabla^2 (\nabla^2 \varphi) = 0. \quad (5.17)$$

Lahti kirjutatult saab viimane kuju

$$\frac{\partial^4 \varphi}{\partial x^4} + 2 \frac{\partial^4 \varphi}{\partial x^2 \partial y^2} + \frac{\partial^4 \varphi}{\partial y^4} = 0. \quad (5.18)$$

Funktsooni, mis rahuldab biharmonilist võrandit (5.17) või (5.18) nimetaakse *biharmoniliseks funktsiooniks*.

Kuna tasakaaluvõrandid on antud juhul automaatselt rahuldatud, siis taandub tasandülesande lahendamine pingetes neljandat järu osatuletisega diferentsiaalvõrandi lahendamisele. Sinjuures tuleb loomulikult arvesse võtta pingetes antud ääretelingimusi. Peale pingefunktsiooni leidmist määratatakse pingensori komponendid (näiteks avaldistest (5.15)). Seejärel saab üldistatud Hookeri seaduse abil leida deformatsioonikomponendid ja Cauchy seostest siirdekomponendid.

Tegelikult on pingefunktsiooni leidmine mittmel juhul suhteliselt lühine. Vastavat meetodit võib nimetada *poolvastupidiiseks metodiks*. Selle põhjal antakse pingefunktsioon ette kas poliinomina või trigonomeetrilise reana, mis sisaldavad määramata konstante. Viimased määratatakse ülesande lahendamise käigus ääretelingimuste ja biharmonilise võrandi abil.

### 5.5. Biharmonilise võrrandi lahendamine polünoomides

## 5.5 Biharmonilise võrrandi lahendamine polünoomides

Kui väljendada Airy funktsioon poliinomina

$$\begin{aligned} \varphi = & \left( \frac{a_2}{2} x^2 + b_2 x y + \frac{c_2}{2} y^2 \right) + \left( \frac{a_3}{3 \cdot 2} x^3 + \frac{b_3}{2} x^2 y + \frac{c_3}{2} x y^2 + \frac{d_3}{3 \cdot 2} y^3 \right) + \\ & + \left( \frac{a_4}{4 \cdot 3} x^4 + \frac{b_4}{3 \cdot 2} x^3 y + \frac{c_4}{2} x^2 y^2 + \frac{d_4}{3 \cdot 2} x y^3 + \frac{e_4}{4 \cdot 3} y^4 \right) + \dots \end{aligned} \quad (5.19)$$

saab konstrueerida terve rea tasandülesande lahendusi. Vaadeldav lähenemisviis on rakendatav kui uuritakse ristikülikuli plaate või talasid. Mahujoud, k.a. keha kaal, hülgane. Käesolevas alajaotuses vaatleme talasid, mille pikkus on  $l$ , kõrgus  $2c$  ja laius  $1$ . Tala teljeks on  $x$ -telg ja  $y$  telg on suunatud alla. Ku na lineaarses elastsusteoorias kehtib superpositiooni printsipi, siis vaatleme algul polünoome kuni 5. astmeni eraldi. Järgmises alajaotuses konstrueerime saadud tulemuste abil erinevaid lahendeid.

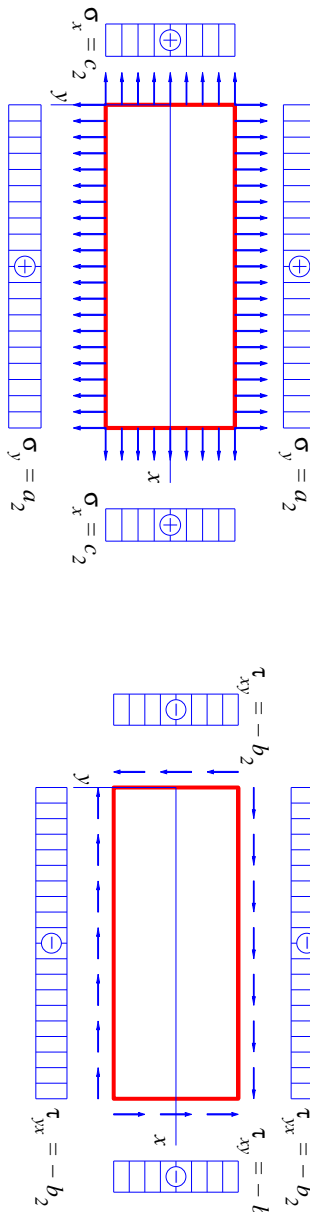
**A) Ruutpolünoom**

$$\varphi_2 = \frac{a_2}{2}x^2 + b_2xy + \frac{c_2}{2}y^2. \quad (5.20)$$

Sellise valiku puhul on biharmoniline võrrand (5.18) automaatselt rahuldatud. Mahujõude hulgamise puhul saame avaldistest (5.15) pingekomponendid kujul

$$\sigma_x = c_2; \quad \sigma_y = a_2; \quad \tau_{xy} = -b_2. \quad (5.21)$$

Selle pingeseisund tähendab  $a_2 > 0$ ,  $b_2 > 0$  ja  $c_2 > 0$  puhul ühtlast tõmnet kahes ristuvas sihis koos ühtlase nihkega. Vastavad rajatingimused on esi-



Joonis 5.1: Ruutpolünoomile vastavad rajatingimused.

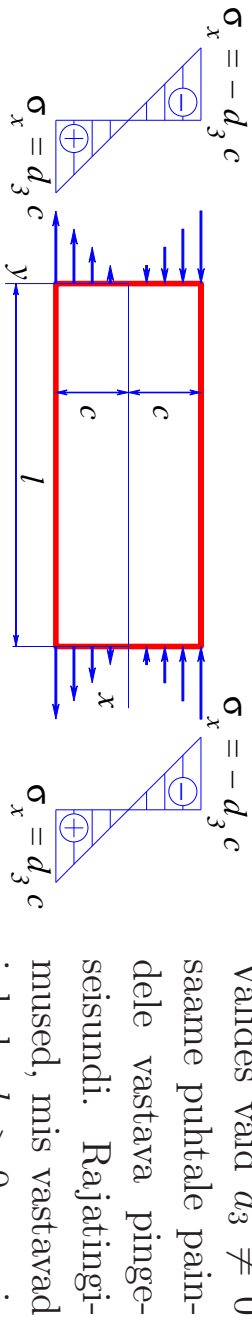
tatud joonisel 5.1. Võttes osa polünoomi koefitsiente võrdseks nulliga, saab rajatingimusi varieerida.

**5.5. Biharmonilise võrrandi lahendamine polünoomides****B) Kuuppolünoom**

$$\varphi_3 = \frac{a_3}{3 \cdot 2}x^3 + \frac{b_3}{2}x^2y + \frac{c_3}{2}xy^2 + \frac{d_3}{3 \cdot 2}y^3. \quad (5.22)$$

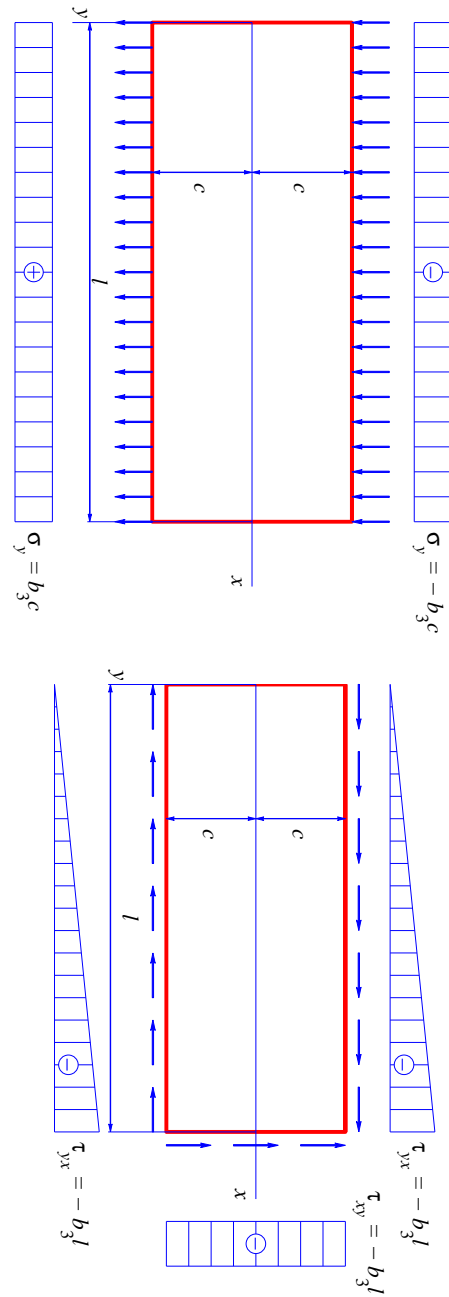
Ka antud juhul on biharmoniline võrrand (5.18) automaatselt rahuldatud. Pingete avaldiste (5.15) põhjal aga

$$\sigma_x = c_3x + d_3y; \quad \sigma_y = a_3x + b_3y; \quad \tau_{xy} = -b_3x - c_3y. \quad (5.23)$$



Joonis 5.2: Kuuppolünoomile vastavad rajatingimused:  $d_3 \neq 0$ , tundud joonisel 5.2.  $a_3 = b_3 = c_3 = 0$ .

Valides vaid  $b_3 \neq 0$  saame pingeseisundi, mille korral pindadel  $y = \pm c$  mõjuvad pinged  $\sigma_y = \pm b_3c$  ja  $\tau_{yx} = -b_3x$  ning pinnal  $x = l$  pingi  $\tau_{xy} = -b_3l$ . Juhu  $b_3 > 0$  jaoks on vastavad rajatingimused esitatud joonisel 5.3.



Joonis 5.3: Kuuppolünoomile vastavad rajatingimused:  $b_3 \neq 0$ ,  $a_3 = c_3 = d_3 = 0$ .

Muud võimalused:

- Vaid  $c_3 \neq 0$  ...
- Vaid  $a_3 \neq 0$  ...
- Jne. ...

Teist ja kolmandat järuku polünoomide puhul pole vaja esitada täiendavaid

### 5.5. Biharmonilise võrrandi lahendamine polünoomides

160

kitsendusi polünoomide koefitsentidele, sest biharmoniline võrrand oli automaatselt rahuldatud. Kõrgemat järuku polünoomide puhul pole asi aga enam nii lihtne.

#### C) Neljandat järuku polünoom

$$\varphi_4 = \frac{a_4}{4 \cdot 3} x^4 + \frac{b_4}{3 \cdot 2} x^3 y + \frac{c_4}{2} x^2 y^2 + \frac{d_4}{3 \cdot 2} x y^3 + \frac{e_4}{4 \cdot 3} y^4. \quad (5.24)$$

Nüüd on biharmoniline võrrand (5.18) rahuldatud vaid juhul kui

$$e_4 = -(2c_4 + a_4) \quad (5.25)$$

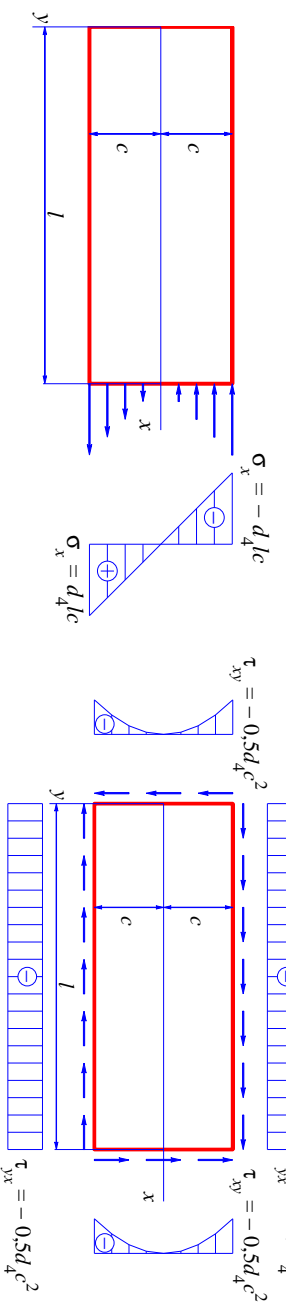
ning pingekomponendid (5.15) saavad kuju

$$\begin{cases} \sigma_x = c_4 x^2 + d_4 x y - (2c_4 + a_4) y^2; \\ \sigma_y = a_4 x^2 + b_4 x y + c_4 y^2; \\ \tau_{xy} = -\frac{b_4}{2} x^2 - 2c_4 x y - \frac{d_4}{2} y^2. \end{cases} \quad (5.26)$$

Kuna koefitsentide  $a_4, \dots, d_4$  valik on vaba, siis on (5.26) abil võimalik kirjeldada mitmesuguseid rajatingimusi.

Näiteks kui vaid  $d_4$  on nullist erinev polünoomi koefitsent, siis

$$\sigma_x = d_4 xy; \quad \sigma_y = 0; \quad \tau_{xy} = -\frac{d_4}{2} y^2. \quad (5.27)$$



Joonis 5.4: Neljandat jäärku polünoomile vastavad rajatingimused juhul kui  $d_4 > 0$  ja  $a_4 = b_4 = c_4 = 0$ .

Juhule  $d_4 > 0$  vastavad rajatingimused

$$\begin{cases} \tau_{yx} = -\frac{d_4}{2} c^2, \text{ kui } y = \pm c; & \tau_{xy} = -\frac{d_4}{2} y^2, \text{ kui } x = 0; \\ \tau_{xy} = -\frac{d_4}{2} y^2, & \sigma_x = d_4 ly, \text{ kui } x = l; \end{cases} \quad (5.28)$$

on kujutatud joonisel 5.4.

### 5.5. Biharmoonilise võrrandi lahendamine polünoomides

Kui vaid  $c_4 > 0$  oleks nullist erinev polünoomi koefitsent, siis saaksime avaldistest (5.26)

$$\sigma_x = c_4 x^2 - 2c_4 y^2; \quad \sigma_y = c_4 y^2; \quad \tau_{xy} = -2c_4 xy. \quad (5.29)$$

Jne., jne.

#### D) Viendat jäärku polünoom

$$\varphi_5 = \frac{a_5}{5 \cdot 4} x^5 + \frac{b_5}{4 \cdot 3} x^4 y + \frac{c_5}{3 \cdot 2} x^3 y^2 + \frac{d_5}{3 \cdot 2} x^2 y^3 + \frac{e_5}{4 \cdot 3} x y^4 + \frac{f_5}{5 \cdot 4} y^5. \quad (5.30)$$

Nüüd on biharmoniline võrrand (5.18) rahuldatud kui

$$e_5 = -(2c_5 + 3a_5) \text{ ja } f_5 = -\frac{1}{3}(b_5 + 2d_5). \quad (5.31)$$

Pingekomponendid

$$\begin{cases} \sigma_x = \frac{\partial^2 \varphi_5}{\partial y^2} = \dots \\ \sigma_y = \frac{\partial^2 \varphi_5}{\partial x^2} = \dots \\ \tau_{xy} = -\frac{\partial^2 \varphi_5}{\partial x \partial y} = \dots \end{cases} \quad (5.32)$$

Valides vaid  $d_5 > 0$  nullist erinevaks polünoomikoeffitsendiks, saame pingegaottuse

$$\sigma_x = d_5(x^2y - \frac{2}{3}y^3), \quad \sigma_y = \frac{1}{3}d_5y^3, \quad \tau_{xy} = -d_5xy^2. \quad (5.33)$$

Võimasele vastavad rajatingimused

$$\begin{cases} y = \pm c, \quad \sigma_y = \pm \frac{1}{3}d_5c^3, \quad \tau_{yx} = -d_5xc^2 \\ x = 0, \quad \sigma_x = -\frac{2d_5y^3}{3}, \quad \tau_{xy} = 0, \\ x = l, \quad \sigma_x = d_5(l^2y - \frac{2}{3}y^3), \quad \tau_{xy} = -d_5ly^2. \end{cases} \quad (5.34)$$

Kuna biharmoniline võrrand (5.18) on lineaarne diferentsiaalvõrrand, sis on tema lahendiks ka suvaline lahendite superpositsioon. Seega, liites eespool leitud elementaarlahendeid, saame leida meid huvitava probleemi lahendi.

### *5.5. **Biharmonilise võrrandi lahendamine polünoomides***

164

Tala pinnal mõjuvate pingete (pindjõuduude) peavektori ja peamondi leidmine

- Vaatleme tala, mille pikkus on  $l$ , kõrgus  $2c$  ja laius 1.
- Eeldame, et tala kontuuril mõjuvad normaal- ja nihkepinged on positiivsed.
- Valime taandumistsentriks koordinaatide alguse.

Peavektori projektsioonid koordinaattelgedel  $x$  ja  $y$ :

$$R_x = R_x(\sigma_x)|_{x=l} + R_x(\sigma_x)|_{x=0} + R_x(\tau_{yx})|_{y=c} - R_x(\tau_{yx})|_{y=-c} = \\ = \int_{-c}^c \sigma_x|_{x=l} dy - \int_{-c}^c \sigma_x|_{x=0} dy + \int_0^l \tau_{yx}|_{y=c} dx - \int_0^l \tau_{yx}|_{y=-c} dx; \quad (5.35)$$

$$R_y = R_y(\sigma_y)|_{y=c} + R_y(\sigma_y)|_{y=-c} + R_y(\tau_{xy})|_{x=0} + R_y(\tau_{xy})|_{x=l} = \\ = \int_0^l \sigma_y|_{y=c} dx - \int_0^l \sigma_y|_{y=-c} dx - \int_{-c}^c \tau_{xy}|_{x=0} dy + \int_{-c}^c \tau_{xy}|_{x=l} dy. \quad (5.36)$$

Peamoment koordinaatide alguse suhtes<sup>1</sup>

$$\begin{aligned}
 M_O &= M_O(\sigma_x)|_{x=0} + M_O(\sigma_x)|_{x=l} + M_O(\sigma_y)|_{y=c} + M_O(\sigma_y)|_{y=-c} + \\
 &+ M_O(\tau_{yx})|_{y=c} + M_O(\tau_{yx})|_{y=-c} + M_O(\tau_{xy})|_{x=l} = \\
 &= \int_{-c}^c \sigma_x|_{x=0} y dy - \int_{-c}^c \sigma_x|_{x=l} y dy + \\
 &+ \int_0^l \sigma_y|_{y=c} x dx - \int_0^l \sigma_y|_{y=-c} x dx - \\
 &- \int_0^l \tau_{yx}|_{y=c} c dx - \int_0^l \tau_{yx}|_{y=-c} c dx + \int_{-c}^c \tau_{xy}|_{x=l} l dy. \tag{5.37}
 \end{aligned}$$

---

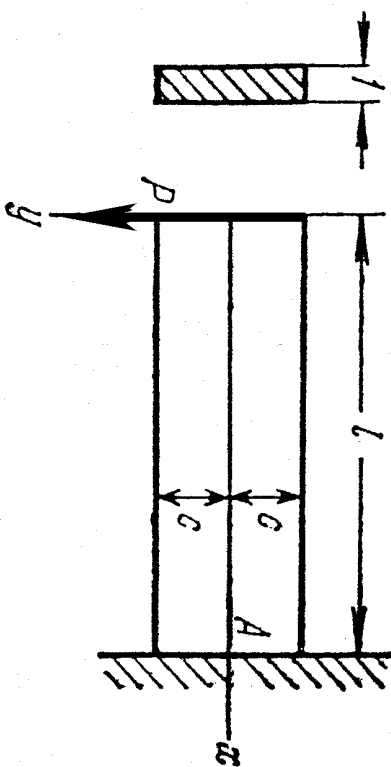
<sup>1</sup>Kuna  $y$  telg on summatud alla, siis on positiivne moment päripäeva.

### 5.6 Konsooli paine

166

## 5.6 Konsooli paine

Vaatleme kitsa ristkülikulise ristlõikega konsooli, mille vabas otsas ( $x = 0$ ) on rakendatud jõud  $\mathbf{P}$ , mida võib vaadelda kui otspinnal möjuvate nihkepingete peavektorit (joonis 5.5). Konsooli pealmine ja alumine pind on pingevabad ja ots  $x = l$  jäigalt kinnitatud.



Sellist olukorda saab vaadelda kui superpositsiooni puhtast nihkest (alajaotus 5.5 A valemid (5.21)  $a_2 = c_2 = 0$  ja  $b_2 \neq 0$ ) ja valenitega (5.27) esitatud juhust (alajaotus 5.5 C  $a_4 = b_4 = c_4 = e_4 = 0$  ja  $d_4 \neq 0$ ). Saame

$$\sigma_x = d_4 xy, \quad \sigma_y = 0, \quad \tau_{xy} = -b_2 - \frac{d_4}{2} y^2 = \tau_{yx}. \quad (5.38)$$

Rajatingimused

$$\tau_{yx}|_{y=\pm c} \equiv \tau_{xy}|_{y=\pm c} = 0 \Rightarrow d_4 = -\frac{2b_2}{c^2}, \quad (5.39)$$

$$\sum F_{iy} \Big|_{x=0} = P = - \int_{-c}^c \tau_{xy} dy = \int_{-c}^c \left( b_2 - \frac{b_2}{c^2} y^2 \right) dy \Rightarrow b_2 = \frac{3P}{4c}. \quad (5.40)$$

Pannes nüüd konstandid  $b_2$  ja  $d_4$  valemitest (5.39) ja (5.40) pingete avaldisse (5.38) saame

$$\sigma_x = -\frac{3P}{2c^3} xy, \quad \sigma_y = 0, \quad \tau_{xy} = -\frac{3P}{4c} \left( 1 - \frac{y^2}{c^2} \right). \quad (5.41)$$

### 5.6. Konsooli paine

Arvestades, et inertsimoment  $I \equiv I_z = 2c^3/3$ , siis

$$\sigma_x = -\frac{P}{I} xy, \quad \sigma_y = 0, \quad \tau_{xy} = -\frac{P}{2I} (c^2 - y^2). \quad (5.42)$$

Lahend on täpne Saint-Venant'i printsüübi mõttes, st., 5.5 C puhul on talaotsas nihkepinged paraboolse jaotusega.

Leiame nüüd siirdekomponendid  $u$  ja  $v$ . Lähtume Hooke'i seadusest ja Chauchy seostest, mille põhjal

$$\begin{cases} \varepsilon_x = \frac{\partial u}{\partial x} = \frac{\sigma_x}{E} = -\frac{P}{EI} xy, \\ \varepsilon_y = \frac{\partial v}{\partial y} = -\nu \frac{\sigma_x}{E} = \frac{\nu P}{EI} xy, \\ \gamma_{xy} = \frac{\partial u}{\partial y} + \frac{\partial v}{\partial x} = \frac{\tau_{xy}}{G} = -\frac{P}{2GI} (c^2 - y^2). \end{cases} \quad (5.43)$$

Integreerime (5.43)<sub>1</sub> koordinaadi  $x$  järgi ja (5.43)<sub>2</sub> koordinaadi  $y$  järgi:

$$u = -\frac{P}{2EI} x^2 y + f(y), \quad v = \frac{\nu P}{2EI} xy^2 + f_1(x), \quad (5.44)$$

kus funktsioonid  $f(y)$  ja  $f_1(x)$  on integreerimiskonstantide analoogid.

Pannes (5.44) valemisse (5.43)<sub>3</sub> saame

$$-\frac{P}{2EI}x^2 + \frac{df(y)}{dy} + \frac{\nu P}{2EI}y^2 + \frac{df_1(x)}{dx} = -\frac{P}{2GI}(c^2 - y^2). \quad (5.45)$$

Viimane on esitatav kujul

$$F(x) + G(y) = K, \quad (5.46)$$

kus

$$F(x) = \frac{df_1(x)}{dx} - \frac{P}{2EI}x^2, \quad G(y) = \frac{df(y)}{dy} + \left( \frac{\nu P}{2EI} - \frac{P}{2GI} \right) y^2, \quad K = -\frac{P}{2GI}c^2. \quad (5.47)$$

Kuna  $F(x) + G(y) = K = \text{const.}$ , siis peavad ka  $F(x)$  ja  $G(y)$  olema konsantised. Tähistades  $F(x) = d$  ja  $G(y) = e$  saame valemitest (5.46) tingimuse

$$d + e = -\frac{P}{2GI}c^2 \quad (5.48)$$

ja diferentsiaalvõrrandid

$$\frac{df(y)}{dy} = \left( \frac{P}{2GI} - \frac{\nu P}{2EI} \right) y^2 + e, \quad \frac{df_1(x)}{dx} = \frac{P}{2EI}x^2 + d. \quad (5.49)$$

### *5.6. Konsooli paine*

Viimaste integreerimisel saame

$$f(y) = \left( \frac{P}{6GI} - \frac{\nu P}{6EI} \right) y^3 + ey + g, \quad f_1(x) = \frac{P}{6EI}x^3 + dx + h. \quad (5.50)$$

Seega saavad siirete avaldised (5.44) kuju

$$u = -\frac{P}{2EI}x^2y + \left( \frac{P}{6GI} - \frac{\nu P}{6EI} \right) y^3 + ey + g, \quad v = \frac{\nu P}{2EI}xy^2 + \frac{P}{6EI}x^3 + dx + h. \quad (5.51)$$

Konstandid  $d, e, g$  ja  $h$  määratatakse tingimusest (5.48) ja kolmest rajatingimustest siiretele.

Olgu punkt  $A$  tala ristlõike  $x = l$  kese. Järga kinnituse tõttu peab see punkt olema fikseeritud — tema siirded on nullid ja ristlõige  $x = l$  ei saa pöörduda ümber punkti  $A$ . Seega kui  $x = l$  ja  $y = 0$ , siis  $u = v = 0$  ning

$$g = 0 \quad \text{ja} \quad h = -\frac{Pl^3}{6EI} - dl. \quad (5.52)$$

Võttes valemis (5.51)<sub>2</sub>  $y = 0$ , saame konsooli kõverdunud telje võrrandi (enne

deformatsiooni on teljeks  $x$ -telg, st. sirge  $y = 0$ ):

$$v|_{y=0} = \frac{P}{6EI}x^3 - \frac{Pl^3}{6EI} - d(l-x). \quad (5.53)$$

Konstandi  $d$  määramiseks kasutame kolmandat rajatingimust, mis ei luba vaadeldaval ristlõikel pöörelda ümber punkti  $A$ . Seda tingimust võib ette anda mitmel viisil. Vaatleme kahte:

a) tala telje element on punktis  $A$  fikseeritud, st.,

$$\left. \frac{\partial v}{\partial x} \right|_{\substack{x=l \\ y=0}} = 0; \quad (5.54)$$

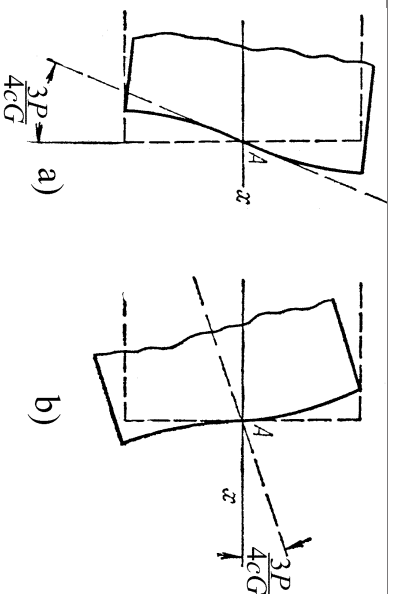
b) tala ristlõike vertikaalne element on punktis  $A$  fikseeritud, st.,

$$\left. \frac{\partial u}{\partial y} \right|_{\substack{x=l \\ y=0}} = 0. \quad (5.55)$$

Juhul a) saame avaldiste (5.54), (5.53) ja (5.48) põhjal

$$d = -\frac{Pl^2}{2EI} \text{ ja } e = \frac{Pl^2}{2EI} - \frac{Pc^2}{2GI}. \quad (5.56)$$

### 5.6. Konsooli paine



Joonis 5.6: Rajatingimused otsas  $x = l$ .

Seega saavad siirdekomponiidide avaldisted (5.51) ja kõverdunud telje võrrand (5.53) kuju

$$\begin{cases} u = -\frac{P}{2EI}x^2y - \frac{\nu P}{6EI}y^3 + \frac{P}{6GI}y^3 + \left(\frac{Pl^2}{2EI} - \frac{Pc^2}{2GI}\right)y, \\ v = \frac{\nu P}{2EI}xy^2 + \frac{P}{6EI}x^3 - \frac{Pl^2}{2EI}x + \frac{Pl^3}{3EI}, \\ v|_{y=0} = \frac{P}{6EI}x^3 - \frac{Pl^3}{2EI}x + \frac{Pl^3}{3EI}. \end{cases} \quad (5.57)$$

Võrrand (5.57)<sub>3</sub> annab konsooli vaba otsa  $x = 0$  läbipaideks  $Pl^3/3EI$ , mis ühib tugevusõpetusest tuntud tulemustega.

Juhul b) saame konstantidele väärised

$$e = \frac{Pl^2}{2EI} \quad \text{ja} \quad d = -\frac{Pl^2}{2EI} - \frac{Pc^2}{2GI} \quad (5.58)$$

ning siirdekomponentide ja tala kõverdunud telje jaoks avaldised

$$\begin{cases} u = -\frac{P}{2EI}x^2y - \frac{\nu P}{6EI}y^3 + \frac{P}{6GI}y^3 + \frac{Pl^2}{2EI}y, \\ v = \frac{\nu P}{2EI}xy^2 + \frac{P}{6EI}x^3 - \left( \frac{Pl^2}{2EI} + \frac{Pc^2}{2GI} \right)x + \frac{Pc^2l}{2GI} + \frac{Pl^3}{3EI}, \\ v|_{y=0} = \frac{P}{6EI}x^3 - \frac{Pl^2}{2EI}x + \frac{Pl^3}{3EI} + \frac{Pc^2}{2GI}(l-x). \end{cases} \quad (5.59)$$

Seega saame võrrandi (5.59)<sub>3</sub> kasutamise puhul tala teljele

$$\frac{Pc^2}{2GI}(l-x) = \frac{3P}{4Gc}(l-x) \quad (5.60)$$

### 5.6. Konsooli paine

174

võrra suuremad läbipainded kui võrrandi (5.57)<sub>3</sub> puhul. Põhjus on selles, et rajatingimused (5.54) keelavad tala telje pöörded kuid lubavad otspinna pöördeid punktis A (vt. joonis 5.6 a). Rajatingimused (5.55) keelavad aga tala otspinna pöörded kuid lubavad telje pöördeid (vt. joonis 5.6 b). Mõlemal juhul toimuvalt pöörded ühe ja sama nurga  $\alpha$  võrra kuigi pöörduvad erinevad elemendid:

$$\alpha \sim \tan \alpha = -\frac{Pc^2}{2GI} = \begin{cases} -\frac{3P}{4cG} & \text{kui } b = 1, \\ -\frac{3P}{4cbG} & \text{kui } b \neq 1. \end{cases} \quad (5.61)$$

Tegelikult jäääb aga kogu otspind  $x = l$  paigale ja õiget tulemust ei anna ei juht a) ega b) ning kinnituskoha läheduses ei vasta ka pingajaotus valemitega (5.42) antule. Avaldise (5.42) puhul tuleb rakendada Saint-Venant'i printsipi, st., et (5.42) annaks töepärasema tulemuse, peame olema otsast  $x = l$  piisavalt kaugel. Seega pikade konsoolide puhul on tulemus „täpsem”, st. vastab enam tegelikkusele, kui lühikesele puhul.

✓

## Näited

Joonistada:

1. tala kõverdunud telg (elastne joon) ja

2. ristlõigete  $x = 0; 0,5l; l$  deformeerunud kuju

erinevate  $c$ ,  $l$  ja  $P$  väärustuste jaoks mõlema ülalvaadeldud ääretingimuse korral. Tala materjal on teras, mille elastsuskonstant  $E = 210$  GPa ja  $\nu = 0,3$  ning tala laius  $b = 0,1$  m.

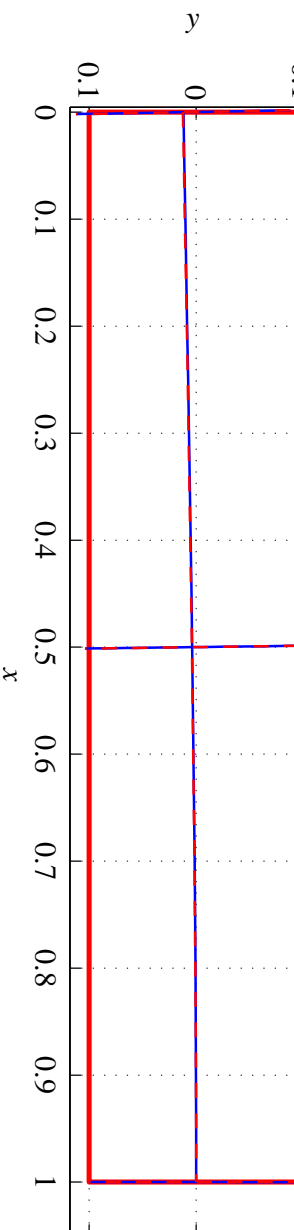
Järgnevatel joonistel tähistavad  $\alpha_{telg}$  ja  $\alpha_{ots}$  vastavalt kõverdunud telje ja otspinna numbriliselt leitud tõusunurka kraadides punktis A. Nurk  $\alpha_{teor}$ , mis on leitud avaldiisest  $\tan \alpha_{teor} = 3P/(4cbG)$ , vastab rajatingimustele a) korral kõverdunud otspinna tõusule ja rajatingimustele b) korral kõverdunud telje tõusule punktis A (võrdle joon. 5.6).

---

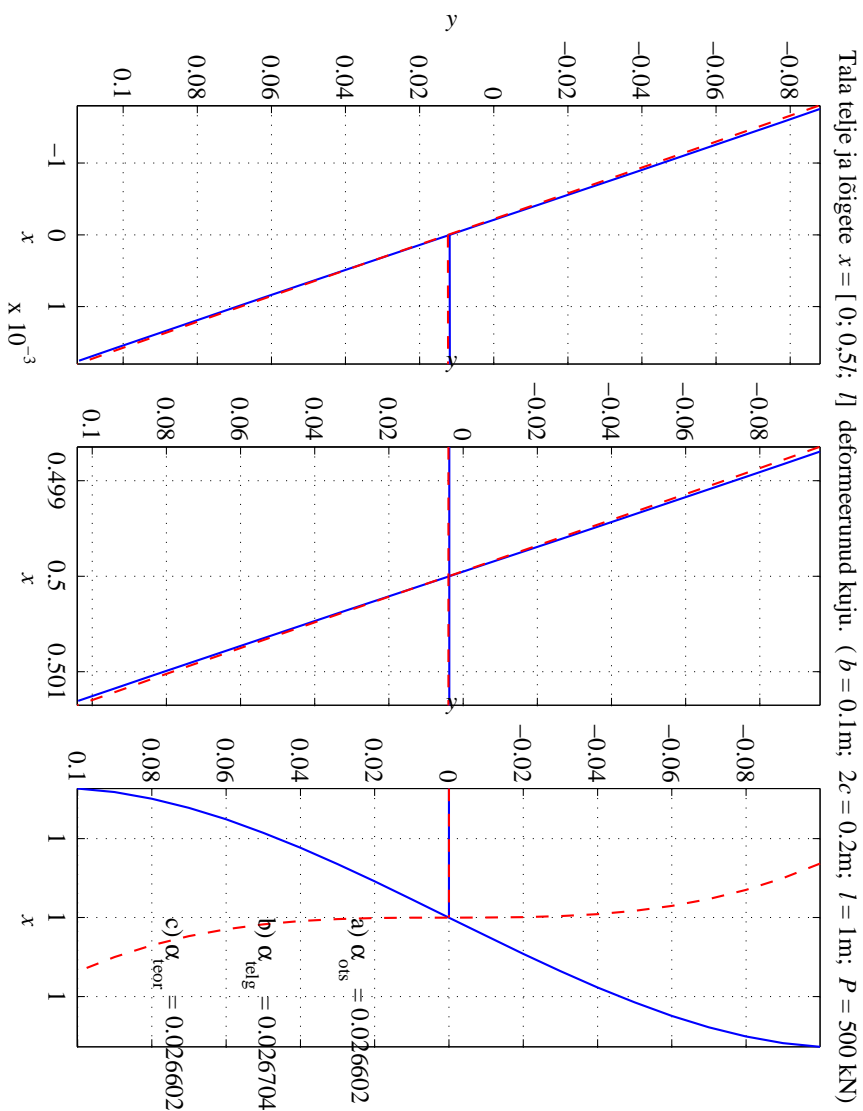
### 5.6. Konsooli paine

176

Tala telje ja lõigete  $x = [0; 0,5l; l]$  deformeerunud kuju. ( $b = 0,1\text{m}$ ;  $2c = 0,2\text{m}$ ;  $l = 1\text{m}$ ;  $P = 500\text{kN}$ )



Joonis 5.7: Rajatingimused a) — sinine pidev joon; rajatingimused b) — punane kriipsjoon.

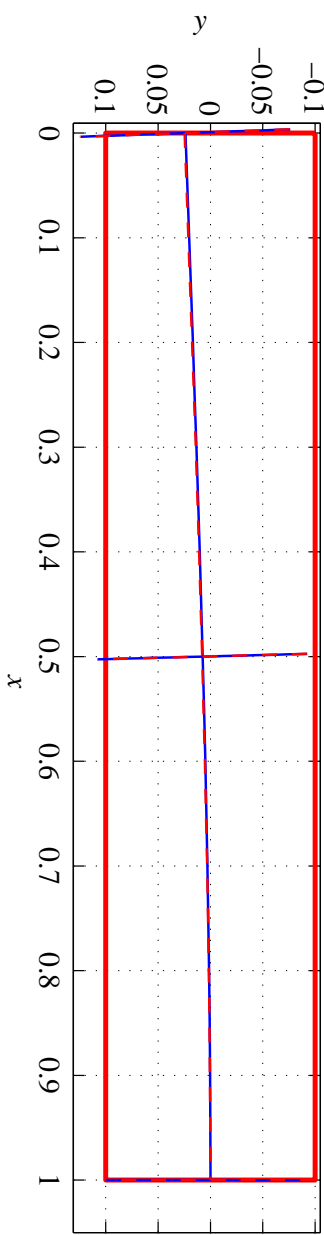


Joonis 5.8: Rajatingimused a) — sinine pidev joon; rajatingimused b) — punane kriipsjoon.

### 5.6. Konsooli paine

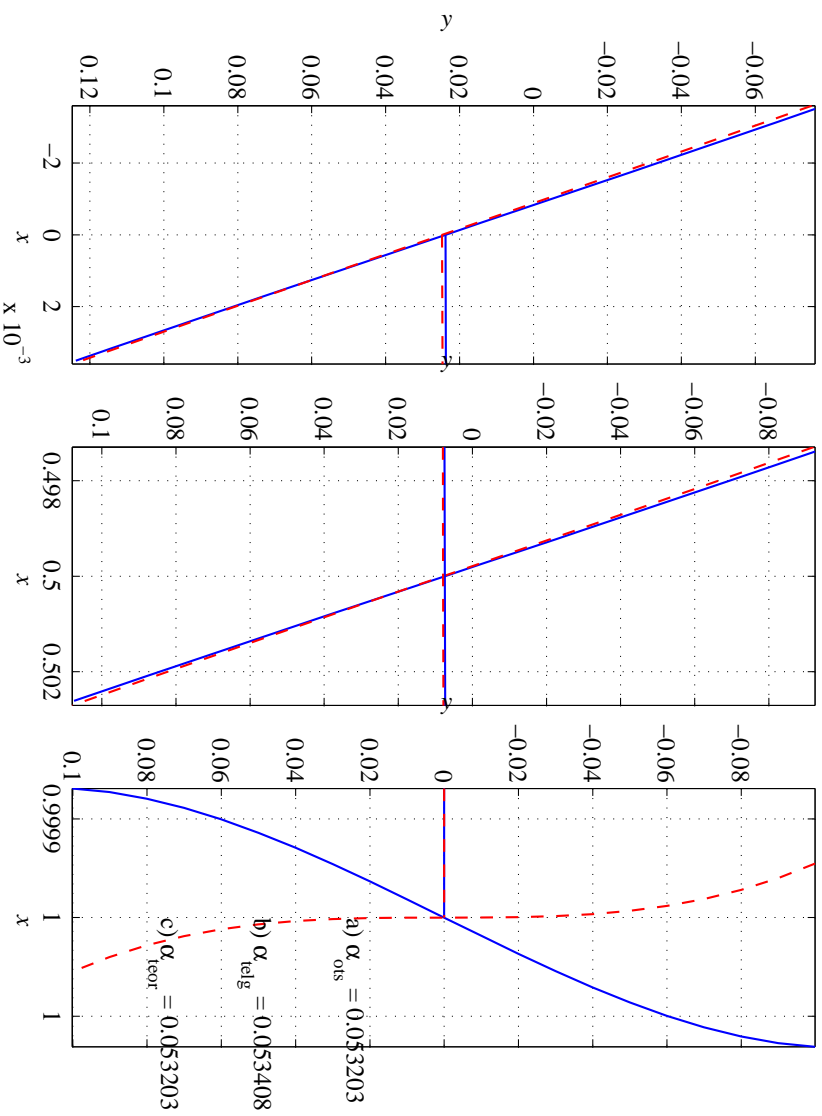
178

Tala telje ja lõigete  $x = [0; 0.5l; l]$  deformeerunud kuju. ( $b = 0.1\text{m}$ ;  $2c = 0.2\text{m}$ ;  $l = 1\text{m}$ ;  $P = 1000\text{kN}$ )



Joonis 5.9: Rajatingimused a) — sinine pidev joon; rajatingimused b) — punane kriipsjoon.

Tala telje ja lõigete  $x = [0; 0,5l; l]$  deformeerunud kuju. ( $b = 0.1\text{m}$ ;  $2c = 0.2\text{m}$ ;  $l = 1\text{m}$ ;  $P = 1000 \text{ kN}$ )

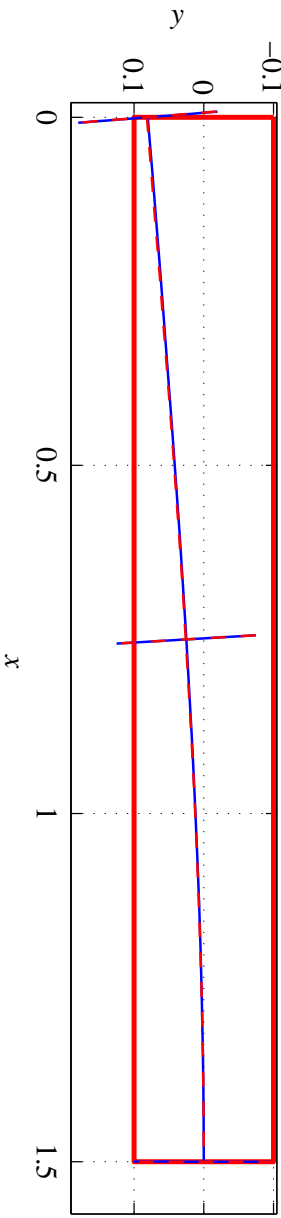


Joonis 5.10: Rajatingimused a) — sinine pidev joon; rajatingimused b) — punane kriipsjoon.

### 5.6. Konsooli paine

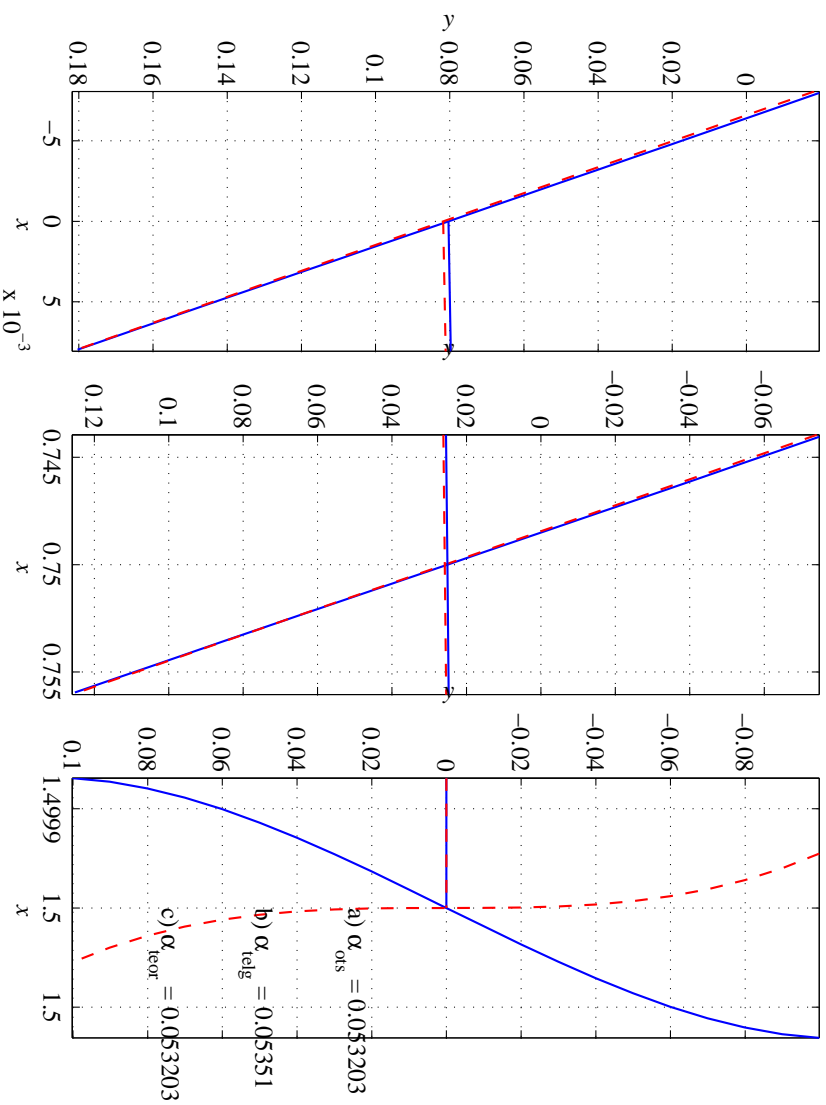
180

Tala telje ja lõigete  $x = [0; 0,5l; l]$  deformeerunud kuju. ( $b = 0.1\text{m}$ ;  $2c = 0.2\text{m}$ ;  $l = 1.5\text{m}$ ;  $P = 1000 \text{ kN}$ )



Joonis 5.11: Rajatingimused a) — sinine pidev joon; rajatingimused b) — punane kriipsjoon.

Tala telje ja lõigete  $x = [0; 0,5l; l]$  deformeerunud kuju. ( $b = 0.1\text{m}$ ;  $2c = 0.2\text{m}$ ;  $l = 1.5\text{m}$ ;  $P = 1000 \text{ kN}$ )

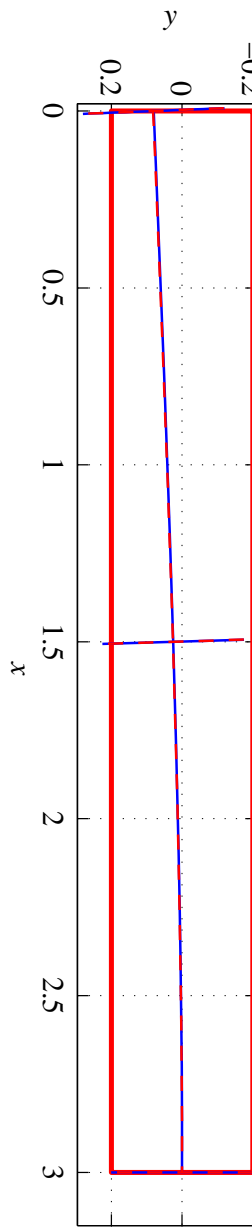


Joonis 5.12: Rajatingimused a) — sinine pidav joon; rajatingimused b) — punane kriipsjoon.

### 5.6. Konsooli paine

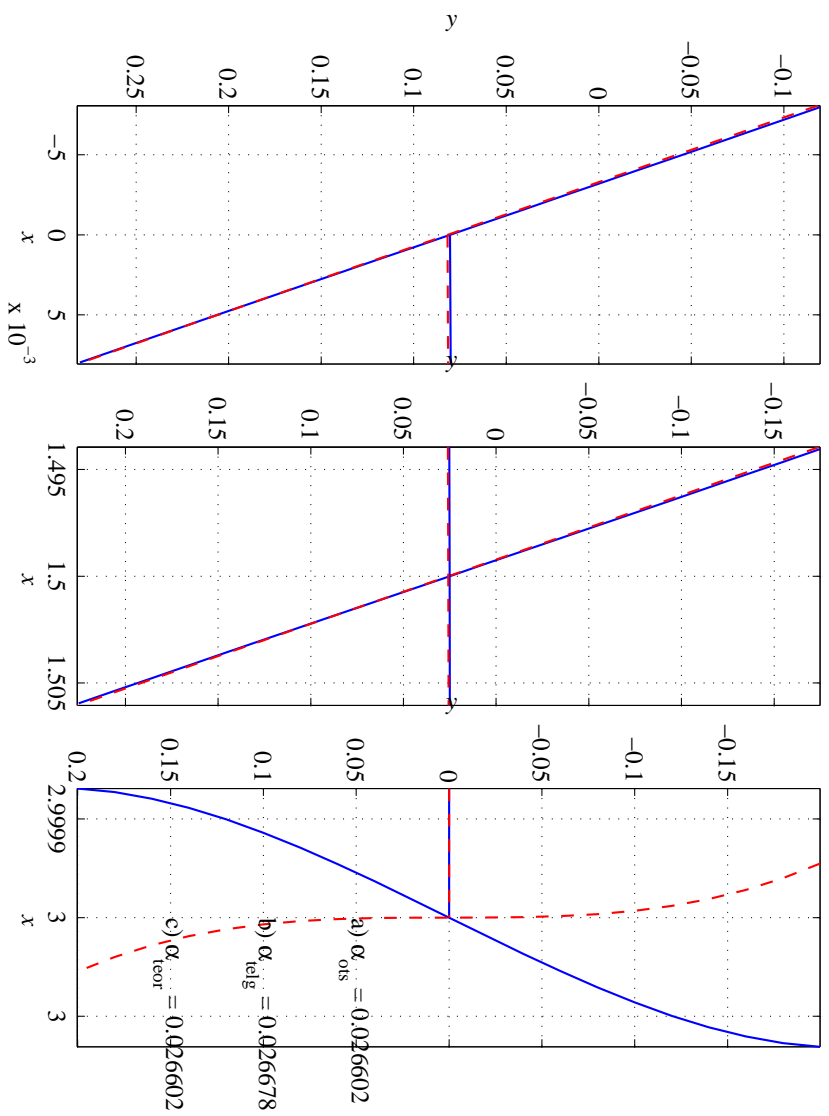
182

Tala telje ja lõigete  $x = [0; 0,5l; l]$  deformeerunud kuju. ( $b = 0.1\text{m}$ ;  $2c = 0.4\text{m}$ ;  $l = 3\text{m}$ ;  $P = 1000 \text{ kN}$ )



Joonis 5.13: Rajatingimused a) — sinine pidav joon; rajatingimused b) — punane kriipsjoon.

Tala telje ja lõigete  $x = [0; 0,5l; l]$  deformeerunud kuju. ( $b = 0.1\text{m}$ ;  $2c = 0.4\text{m}$ ;  $l = 3\text{m}$ ;  $P = 1000 \text{ kN}$ )

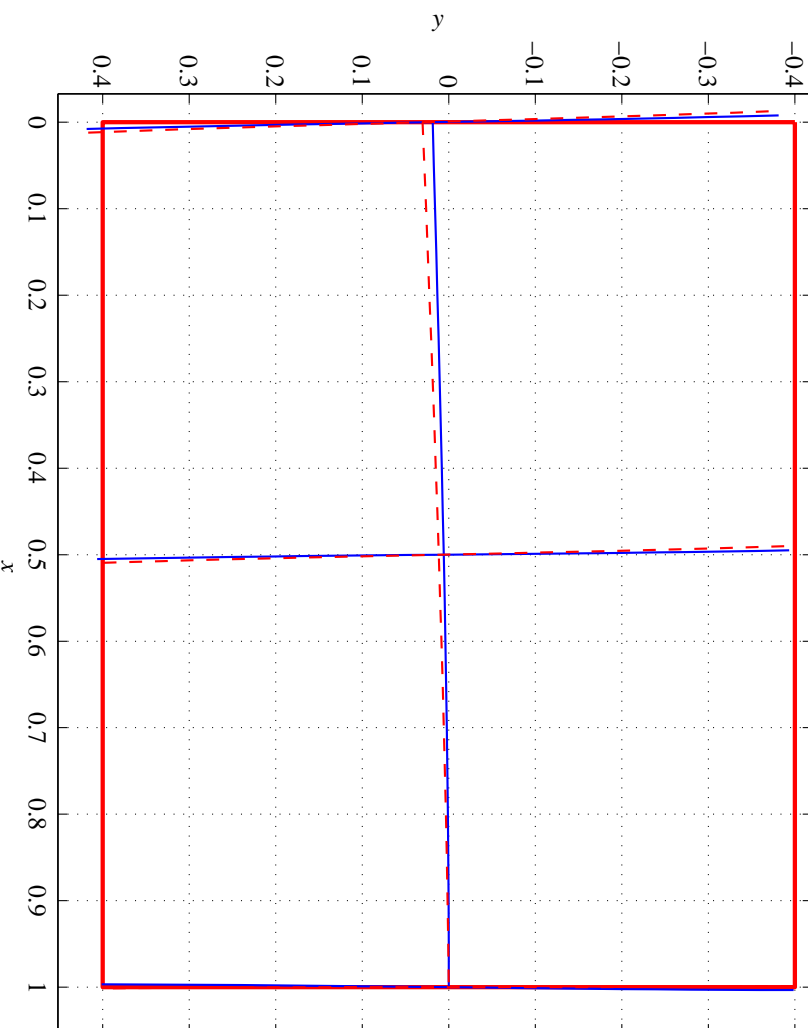


Joonis 5.14: Rajatingimused a) — sinine pidev joon; rajatingimused b) — punane kriipsjoon.

### 5.6. Konsooli paine

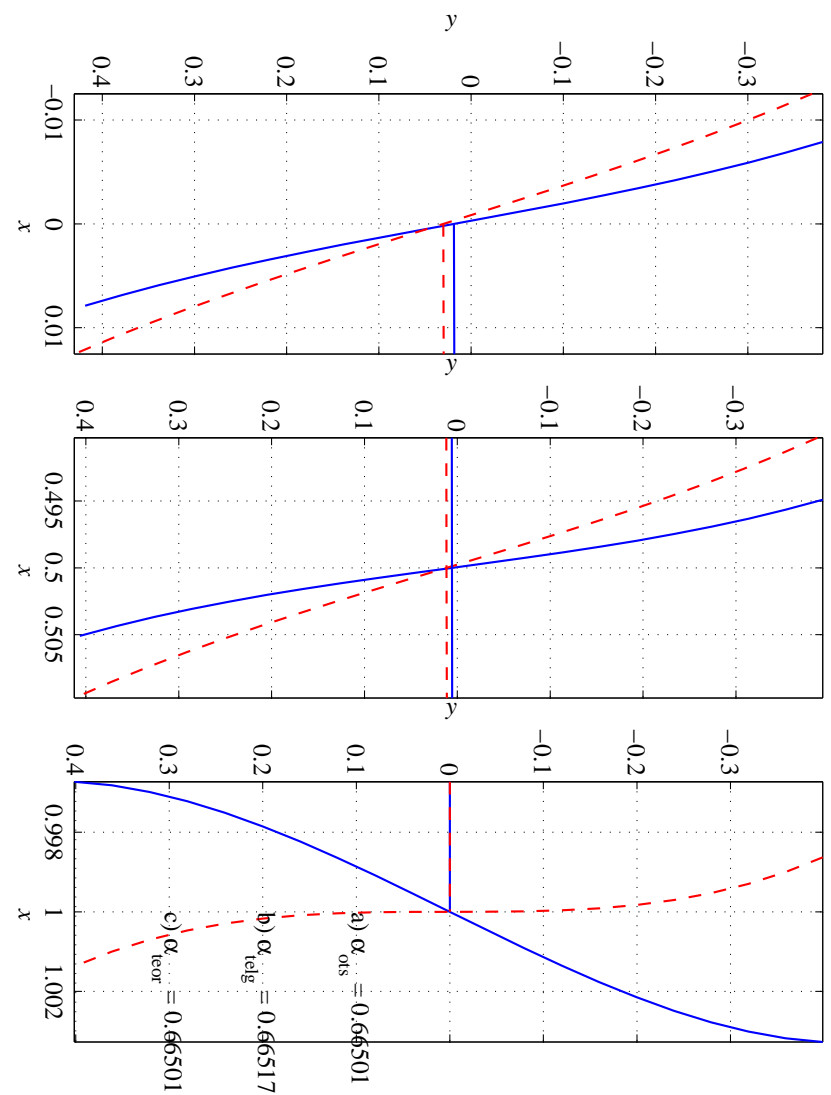
184

Tala telje ja lõigete  $x = [0; 0,5l; l]$  deformeerunud kuju. ( $b = 0.1\text{m}$ ;  $2c = 0.8\text{m}$ ;  $l = 1\text{m}$ ;  $P = 50000 \text{ kN}$ )



Joonis 5.15: Rajatingimused a) — sinine pidev joon; rajatingimused b) — punane kriipsjoon.

Tala telje ja lõigete  $x = [0; 0.5l; l]$  deformeerunud kuju. ( $b = 0.1\text{m}$ ;  $2c = 0.8\text{m}$ ;  $l = 1\text{m}$ ;  $P = 50000 \text{ kN}$ )

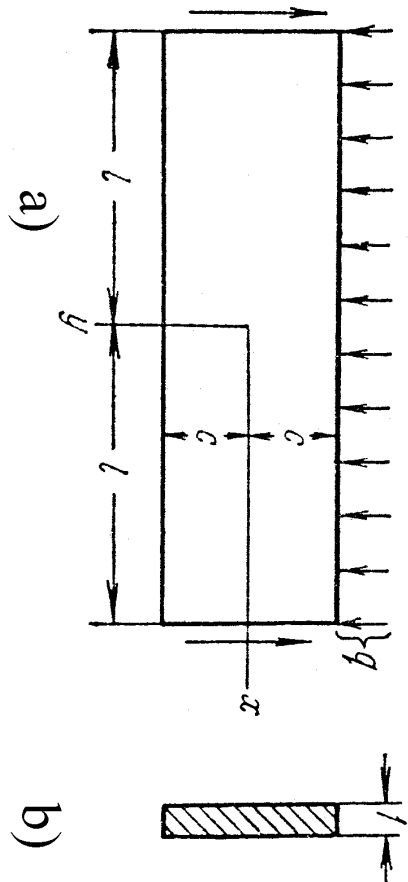


Joonis 5.16: Rajatingimused a) — sinine pidev joon; rajatingimused b) — punane kriipsjoon.

### 5.7 Ühtlaselt koormatud tala paine

186

#### 5.7. Ühtlaselt koormatud tala paine



Joonis 5.17: Ühtlaselt koormatud kitsa ristkülikulise ristlõikega tala (joonis 5.17). Tala on otstes  $2c$ , paksus 1).

Vaatleme kitsa ristkülikulise ristlõikega tala (joonis 5.17). Tala on otstes  $2c$ , paksus 1). Vaatleme kitsa ristkülikulise ristlõikega tala (joonis 5.17). Tala on otstes va-

balt toetatud ja talle mõjub ühtlaselt jaotatud koormus intensiivsusega  $q$ .

Rajatingimused: a) külgpindadel  $y = \pm c$

$$\tau_{xy}|_{y=\pm c} = 0, \quad \sigma_y|_{y=+c} = 0, \quad \sigma_y|_{y=-c} = -q; \quad (5.62)$$

b) otspindadel  $x = \pm l$

$$\left\{ \begin{array}{l} \int_{-c}^c \tau_{xy}|_{x=\pm l} dy = \mp ql, \quad \text{põikjõud tala otstes,} \\ \int_{-c}^c \sigma_x|_{x=\pm l} dy = 0, \quad \text{pikijõud tala otstes,} \\ \int_{-c}^c \sigma_x|_{x=\pm l} y dy = 0, \quad \text{painedemoment tala otstes.} \end{array} \right. \quad (5.63)$$

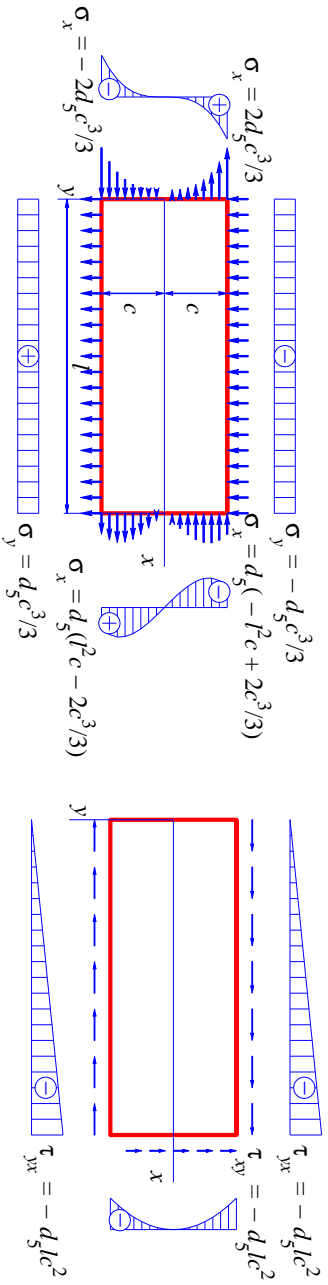
Rajatingimusi (5.62) ja (5.63) saab rahuldada kui kombineerida alajaotuses 5.5 leitud lahendeid.

### 5.7. Ühtlaselt koormatud tala paine

Lähtume lahendist (5.33) (lk. 163)

$$\sigma_x = d_5(x^2y - \frac{2}{3}y^3), \quad \sigma_y = \frac{1}{3}d_5y^3, \quad \tau_{xy} = -d_5xy^2,$$

millele vastavad rajatingimused on kujutatud joonisel 5.18. Et vabaneda



Joonis 5.18: Viiendaat järku politnoomile vastavad rajatingimused  $d_5 \neq 0$  ja  $a_5 = b_5 = c_5 = e_5 = f_5 = 0$  puuhul.

tõmbepingest küljel  $y = c$  ja nihkepingest külgedel  $y = \pm c$  lisame tõmbe  $\sigma_y = a_2$  lahendist (5.21) ja pinged  $\sigma_y = b_3y$  ning  $\tau_{xy} = -b_3x$  lahendist (5.23).

Kokku saame

$$\begin{cases} \sigma_x = d_5(x^2y - \frac{2}{3}y^3), \\ \tau_{xy} = -d_5xy^2 - b_3x, \end{cases} \quad (5.64)$$

Rajatingimustest (5.62) määrame

$$a_2 = -\frac{q}{2}, \quad b_3 = \frac{3q}{4c}, \quad d_5 = -\frac{3q}{4c^3}. \quad (5.65)$$

Arvestades, et  $I = I_z = 2c^3/3$  saame valemitest (5.64) ja (5.65)

$$\begin{cases} \sigma_x = -\frac{q}{2I}(x^2y - \frac{2}{3}y^3), \\ \tau_{xy} = -\frac{q}{2I}(\frac{1}{3}y^3 - c^2y + \frac{2}{3}c^3), \end{cases} \quad (5.66)$$

Leitud pingekomponendid rahuldavad lisaks rajatingimustele (5.62) ka (5.63)<sub>1-2</sub>. Et oleks rahuldatud ka (5.63)<sub>3</sub> lisame puhtale paindele vastavad pinged  $\sigma_x = d_3y$  ja  $\sigma_y = \tau_{xy} = 0$  lahendist (5.23). Rajatingimusest (5.63)<sub>3</sub> leiate

$$d_3 = \frac{3q}{4c} \left( \frac{b^2}{c^2} - \frac{2}{5} \right). \quad (5.67)$$

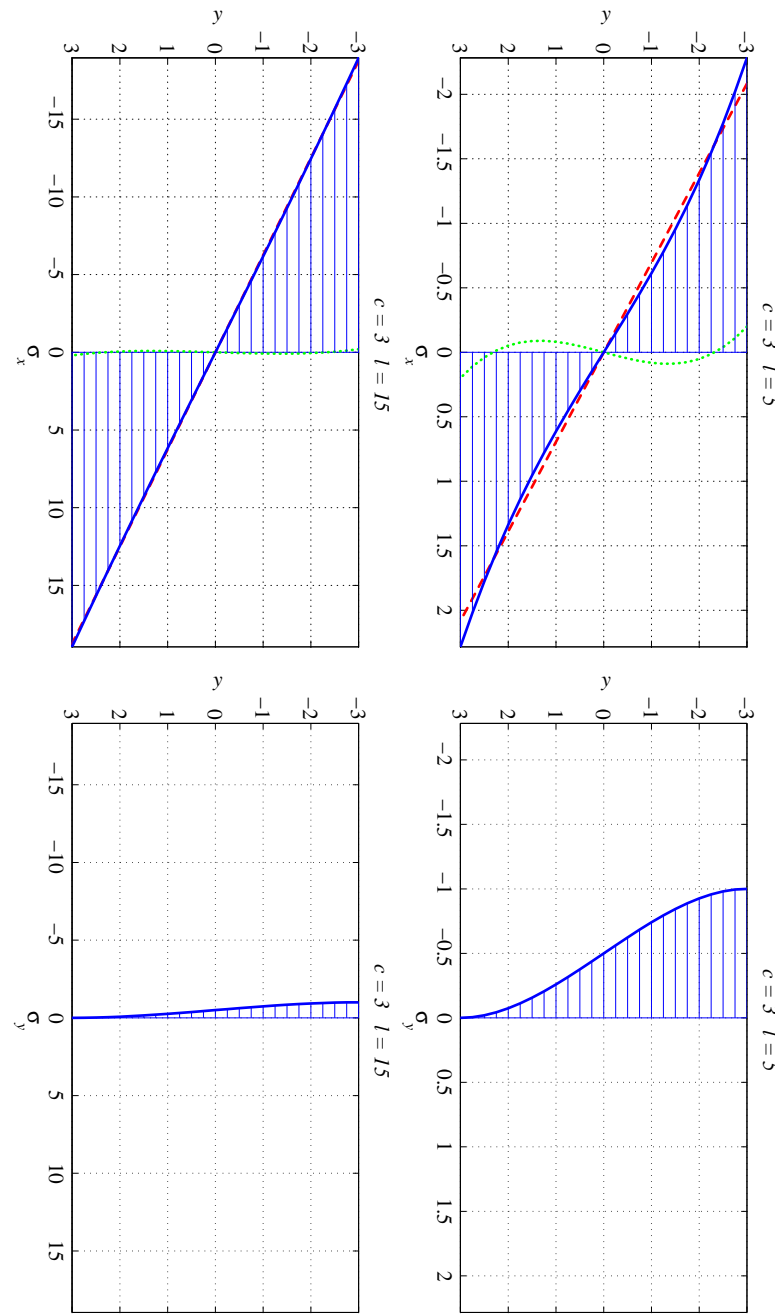
### 5.7. Ühtlaselt koormatud tala paine

Seega avaldub normaalpinge  $\sigma_x$  lõpuks kujul

$$\sigma_x = \frac{q}{2I} (l^2 - x^2) y + \frac{q}{2I} \left( \frac{2}{3}y^3 - \frac{2}{5}c^2y \right). \quad (5.68)$$

Avaldise (5.68) esimene liige vastab elementaarsel paineteooriale ning teist saab vaadelda kui parandusliiget ja ta on väike võrreldes esimesega. «Paran-dusliige» on põjustatud sellest, et elementaarteooria puhul eeldatakse, et  $\sigma_y \equiv 0$ , kuid (5.66) põhjal pole see nii. Lisaks on valemitate (5.66) ja (5.68) nis põhjal selge, et  $\sigma_y$  ja  $\sigma_x$  avaldise „parandusliige” ei sõltu koordinaadist  $x$ .

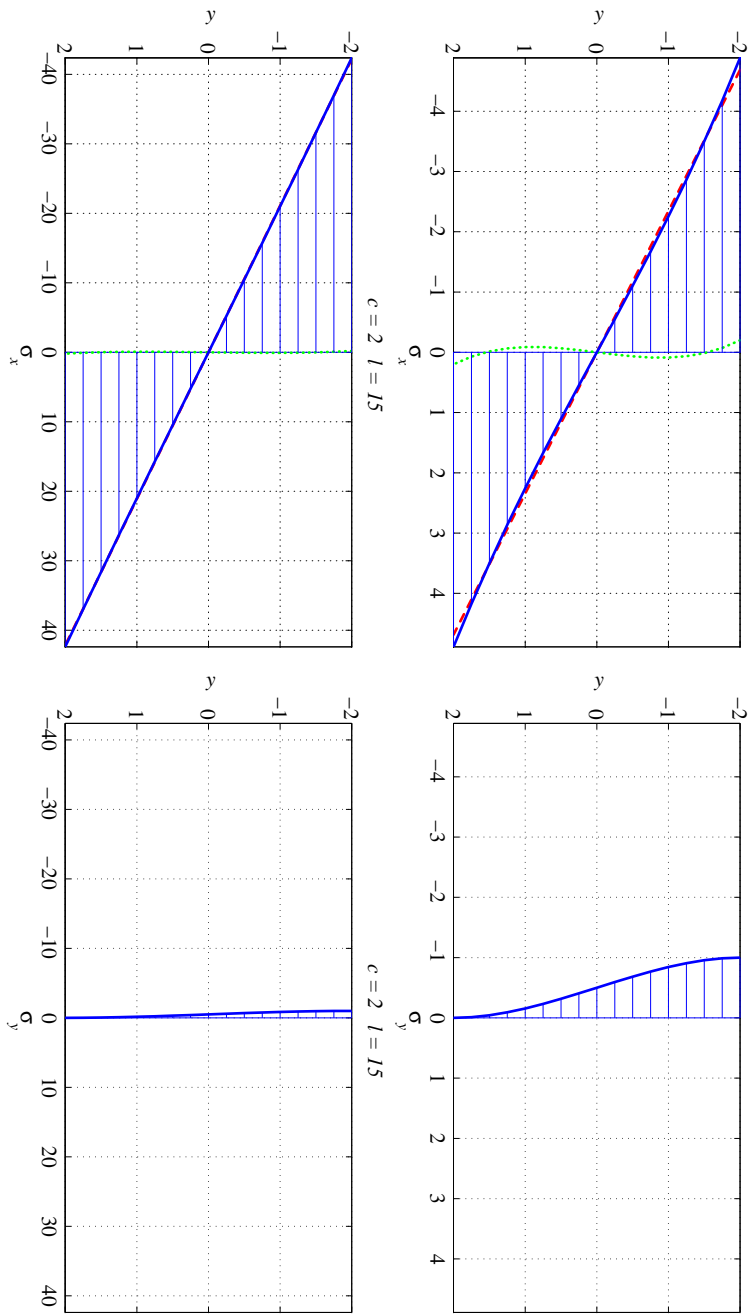
Joonistel 5.19 ja 5.20 on esitatud pingete  $\sigma_x$  ja  $\sigma_y$  epüürid võrdluse mõttes samas mõõtkavas. Simine pidenvjoon vastab  $\sigma_x$  puhul summaarsel pingel vastavalt valemile (5.68), punane kriipsjoon esitab nn. põhiliiget ja roheiline punktiirjoon parandusliiget. Nendelt joonistelt selgub, et mida suurem on tala pikkuse ja kõrguse suhe  $l/c$ , seda tühisem on paranduslikme mõju ja pinge  $\sigma_y$  maksimaalne vääratus võrreldes  $\sigma_x$  maksimaalse väärustega.



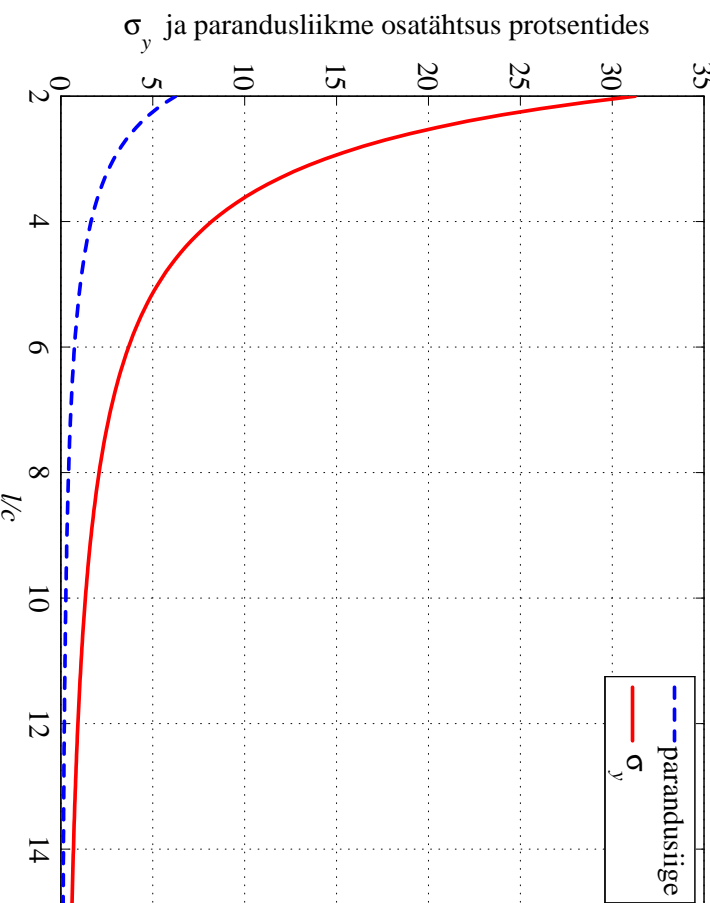
Joonis 5.19: Pinged  $\sigma_x$  ja  $\sigma_y$  ühtlaselt koormatud talas vastavalt valemitele (5.66) ja (5.68). Tala laius on 1 ja kõrgus  $2c = 6$ . Ülemistel joonistel on tala pikkus  $2l = 10$  ja alumistel joonistel  $2l = 30$ . Pinge  $\sigma_x$  on esitatud tala keskel kohal  $x = 0$ . Punane kriipsjoon vastab elementaarteooriast pärit põhilikmele ja rohelise punktiirjoon parandusliikmele.

### 5.7. Ühtlaselt koormatud tala paine

192



Joonis 5.20: Pinged  $\sigma_x$  ja  $\sigma_y$  ühtlaselt koormatud talas vastavalt valemittele (5.66) ja (5.68). Tala laius on 1 ja kõrgus  $2c = 4$ . Ülemistel joonistel on tala pikkus  $2l = 10$  ja alumistel joonistel  $2l = 30$ . Pinge  $\sigma_x$  on esitatud tala keskel kohal  $x = 0$ . Punane kriipsjoon vastab elementaarteooriast pärit põhilikmele ja rohelise punktiirjoon parandusliikmele.



Joonis 5.21: Pingे  $\sigma_y$  ja parandusliikme osatähtsus protsentides sõltuvana tala pikkuse ja kõrguse suhest.

### 5.7. Ühtlaselt koormatud tala paine

194

Valemi (5.68) parandusliikme ja pinge  $\sigma_y$  osatähtsuse hindamiseks on joonisel 5.21 esitatud suhted

$$\max_y \frac{\frac{q}{2I} \left( \frac{2}{3}y^3 - \frac{2}{5}c^2y \right)}{\max_y \sigma_x} \quad \text{ja} \quad \frac{\max_y \sigma_y}{\max_y \sigma_x}.$$

Selle joonise põhjal on selge, et parandusliikme osatähtsus on alla 5 % juba siis kui suhe  $l/c > 2,5$  ja pingete  $\sigma_y$  ja  $\sigma_x$  maksimaalsete väärustuse suhe on 5 % väiksem kui suhe  $l/c > 5,5$ .

Avaldisega (5.68) esitatud pinged annavad otspindadel nulliga võrduva peavektori ja peamomendi. Lahend on täpne vaid juhul kui otspindadel  $x = \pm l$  mõjuks pindjoud

$$t_x = \pm \frac{3}{4} \frac{q}{c^3} \left( \frac{2}{3}y^3 - \frac{2}{5}c^2y \right). \quad (5.69)$$

Saint-Venant'i printsibi põhjal loetakse lahend täpseks punktides, mis on otstest  $x = \pm l$  kaugemal kui tala kõrgus, st. 2c, ka  $t_x = 0$  puhul.

Tala punktide siirded  $u$  ja  $v$  leitakse analoogiliselt alajaotusele 5.6. Nüüd eeldatakse, et punktis  $x = y = 0$  on horisontaalsed siirded võrdsed nulliga ja vertikaalsed siirded võrdsed läbipaindega  $\delta$ . Kokku saame, et

$$\begin{cases} u = \frac{q}{2EI} \left[ \left( l^2x - \frac{x^3}{3} \right) y + x \left( \frac{2}{3}y^3 - \frac{2}{5}c^2y \right) + \nu x \left( \frac{1}{3}y^3 - c^2y + \frac{2}{3}c^3 \right) \right], \\ v = -\frac{q}{2EI} \left\{ \frac{y^4}{12} - \frac{c^2y^2}{2} + \frac{2}{3}c^3y + \nu \left[ (l^2 - x^2) \frac{y^2}{2} + \frac{y^4}{6} - \frac{1}{5}c^2y^2 \right] \right\} - \\ - \frac{q}{2EI} \left[ \frac{l^2x^2}{2} - \frac{x^4}{12} - \frac{1}{5}c^2x^2 + \left( 1 + \frac{1}{2}\nu \right) c^2x^2 \right] + \delta. \end{cases} \quad (5.70)$$

Kuna (5.70)<sub>1</sub> põhjal horisontaalsed siirded tala keskjoonel

$$u|_{y=0} = \frac{\nu q x}{2E}, \quad (5.71)$$

siis ei osutu keskjoon neutraalseks jooneks. Tala keskjoone punktide vertikaalne siire

$$v|_{y=0} = \delta - \frac{q}{2EI} \left[ \frac{l^2x^2}{2} - \frac{x^4}{12} - \frac{1}{5}c^2x^2 + \left( 1 + \frac{1}{2}\nu \right) c^2x^2 \right]. \quad (5.72)$$

### 5.7. Ühtlaselt koormatud tala paine

Kuna tala otsad on vabalt toetatud, siis  $v|_{x=\pm l} = 0$  ja

$$\delta = \frac{5}{24} \frac{ql^4}{EI} \left[ 1 + \frac{12}{5} \frac{c^2}{l^2} \left( \frac{4}{5} + \frac{\nu}{2} \right) \right]. \quad (5.73)$$

Avaldises (5.73) nurksulgude ees olev kordaja esitab elementaarteooriale vastavat läbipainet (eeldades, et tala ristlõiked jäavad deformatsioonil tasapinnaisteks). Teine liige nurksulgudes esitab parandust, st. arvestab põikjõu mõju läbipaindele.

Diferentseerides (5.72) kaks korda saame keskjoone kõverust iseloomustava avaldise

$$\frac{\partial^2 v}{\partial x^2} \Big|_{y=0} = \frac{q}{EI} \left[ \frac{l^2 - x^2}{2} + c^2 \left( \frac{4}{5} + \frac{\nu}{2} \right) \right]. \quad (5.74)$$

Ka selles avaldises vastab esimene liige elementaarteooria valemile ning on proporsionaalne paindemomendiga  $q(l^2 - x^2)/2$ .

Kui soovitakse arvesse võtta ka omakaalu, tuleb lisada pinge

$$\sigma_y = \rho g(c - y), \quad (5.75)$$

mis annab tala ülemisel pinnal  $y = -c$  pingeks  $\sigma_y = 2\rho g(c)$  ja alumisel pinnal  $y = c$  vastavalt  $\sigma_y = 0$ .

## Näide

- Tala pikkus  $2l = 10$  m, kõrgus  $2c = 0,8$  m ja laius  $b = 0,1$  m, koormus  $q = 100$  kN/m.

- Materjalid:

Teras:  $\rho = 7800$  kg/m<sup>3</sup>,  $E = 210$  GPa,  $\nu = 0.3$ , omakaal 61,2144 kN.  
Alumiinium:  $\rho = 2600$  kg/m<sup>3</sup>,  $E = 70$  GPa,  $\nu = 0.35$ , omakaal 20,4048 kN.

Vask:  $\rho = 8900$  kg/m<sup>3</sup>,  $E = 110$  GPa,  $\nu = 0.32$ , omakaal 69,8472 kN.

Joonistada tala kõverdunud keskjoon vastavalt valemile (5.72) ja elementaar-teooria valemile<sup>2</sup>

$$v = \frac{q}{EI} \left[ \frac{(x+l)^4}{24} - \frac{l(x+l)^3}{6} + \frac{l^3(x+l)}{3} \right] \quad (5.76)$$

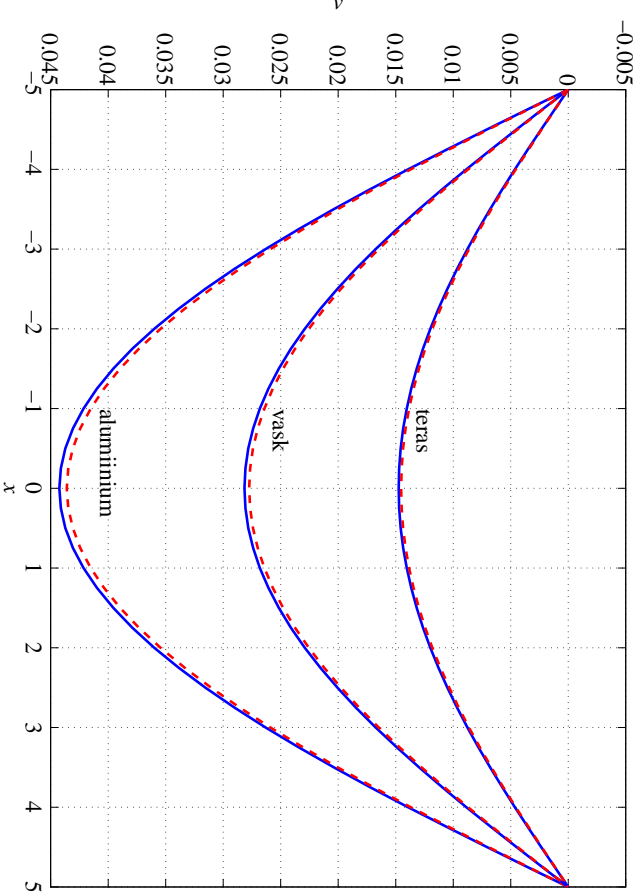
ning hinnata valemi (5.73) nn. parandusliikme osatähtsusst sõltuvana tala kõrguse ja pikkuse suhest.

---

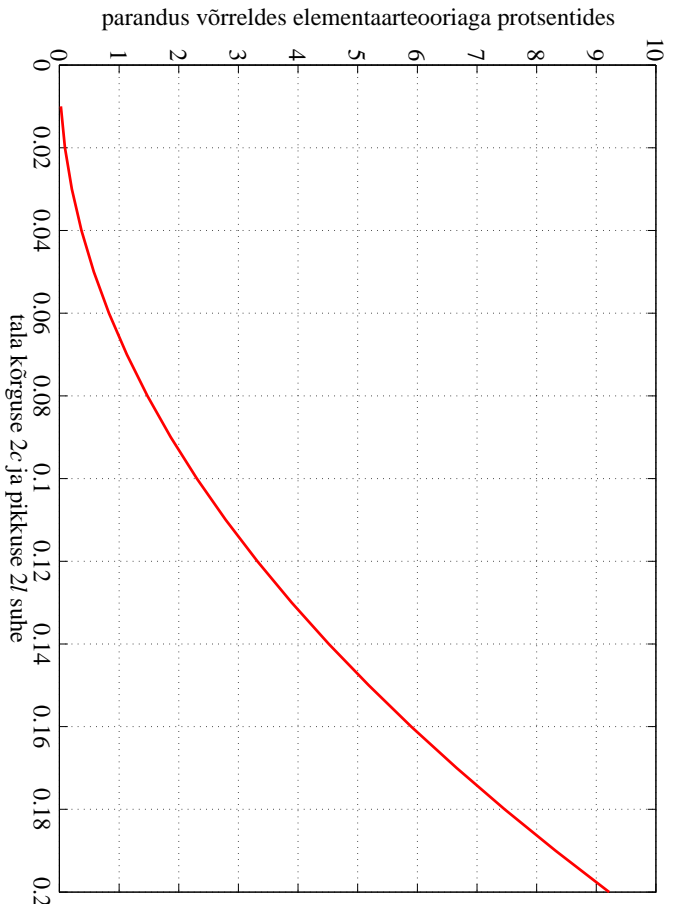
<sup>2</sup>Parnes, Raymond. Solid mechanics in engineering. Wiley, Chichester, 2001.

### 5.7. Ühtlaselt koormatud tala paine

198



Joonis 5.22: Vabalt toetatud tala telje sürded. Punane kriipsjoon vastab nn. elementaar-teooriale ja sinine pidevjoon valemile (5.72).



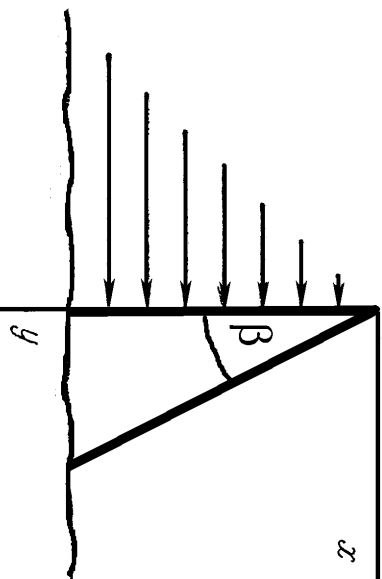
Joonis 5.23: Vabalt toetatud tala paine. Valemi (5.73) parandusliikme osatähtsus protsentides sõltuvana tala kõrguse ja pikkuse suhest (vt. alajaotus 5.7 lk. 196).

### 5.8 Hüdrostaatiliselt koormatud tugiseina arvutus.

200

#### 5.8. Hüdrostaatiliselt koormatud tugiseina arvutus.

Vaatleme kolmukse ristlõikega tugiseina, millele mõjub hüdrostaatiline surve (joon 5.24). Olgu vedeliku tihedus  $\rho$ , tugiseina kaldenurk  $\beta$  ja seine materjali erikaal  $\gamma$ . Seega on seinale mõjuvateks välisjõududeks vedelikust põhjustatud hüdrostaatiline surve  $p = \rho gy$  ja mahujõud  $Y = \gamma$  (seina erikaal). Hulgame



Joonis 5.24: Hüdrostaatiliselt koormatud kolmukse ristlõikega tugisein.

seina ja vundamendi vahelised mõjud, st., vaatleme  $0 \leq y < \infty$ .

Sellistel eeldustel on tegu tasapinnalise ülesandega ja rajatingimused

$$\begin{cases} p_{\nu x} = \sigma_x l + \tau_{yx} m, \\ p_{\nu y} = \tau_{xy} l + \sigma_y m. \end{cases}$$

Vertikaalsel küljel  $x = 0$  ja pinnanormaali suunakoosinused  $l = -1$  ning  $m = 0$ . Kuna sellele seinale mõjub hüdrostaatiline surve  $p$ , siis vastavalt rajatingimustele

$$\begin{cases} \rho g y = \sigma_x \cdot (-1) + \tau_{yx} 0, \\ 0 = \tau_{xy} \cdot (-1) + \sigma_y 0, \end{cases} \Rightarrow \begin{cases} \sigma_x = -\rho g y, \\ \tau_{xy} = 0. \end{cases} \quad (5.77)$$

Kaldküljel  $x = y \tan \beta$ ,  $l = \cos \beta$ ,  $m = -\cos(90^\circ - \beta) = -\sin \beta$ . Kuna kaldkülj on koormusest vaba, siis saavad rajatingimused kuju

$$\begin{cases} 0 = \sigma_x \cos \beta + \tau_{yx} (-\sin \beta), \\ 0 = \tau_{xy} \cos \beta + \sigma_y (-\sin \beta), \end{cases} \Rightarrow \begin{cases} \sigma_x = \tau_{yx} \tan \beta, \\ \tau_{xy} = \sigma_y \tan \beta. \end{cases} \quad (5.78)$$

Lahendi leidmisel lähtume kuuppolüoomist (5.22)

$$\varphi_3 = \frac{a_3}{3 \cdot 2} x^3 + \frac{b_3}{2} x^2 y + \frac{c_3}{2} x y^2 + \frac{d_3}{3 \cdot 2} y^3.$$


---

### 5.8. Hüdrostaatiliselt koormatud tugiseina arvutus.

*202*

Vastavalt valemitile (5.15) avalduvad pingekomponendid kujul

$$\sigma_x = c_3 x + d_3 y; \quad \sigma_y = a_3 x + b_3 y; \quad \tau_{yx} = -b_3 x - c_3 y - \gamma x. \quad (5.79)$$

Alternatiivsete valemite (5.16) kaudu aga kujul

$$\sigma_x = c_3 x + d_3 y; \quad \sigma_y = a_3 x + b_3 y - \gamma y; \quad \tau_{yx} = -b_3 x - c_3 y. \quad (5.80)$$

Järgnevalt näeme, et mõlemal juhul saame päräst rajatingimuste (5.77) ja (5.78) rahuldamist sama tulenuse.

Lähtume esiteks valemeist (5.79). Rajatingimused vertikaalküljel (5.77) annavad

$$d_3 = -\rho g \quad \text{ja} \quad c_3 = 0. \quad (5.81)$$

Kaldküljel  $x = y \tan \beta$  ja rajatingimused (5.78) saavad kuju

$$\begin{cases} 2c_3 \tan \beta + b_3 \tan^2 \beta + d_3 + \gamma \tan^2 \beta = 0 \\ a_3 \tan^2 \beta + 2b_3 \tan \beta + c_3 + \gamma \tan \beta = 0 \end{cases} \quad (5.82)$$

Arvestades (5.81) saame viimastest avaldada

$$a_3 = \frac{\gamma}{\tan \beta} - \frac{2\rho g}{\tan^3 \beta}, \quad b_3 = \frac{\rho g}{\tan^2 \beta} - \gamma. \quad (5.83)$$


---

Sellega ongi neli tundmatut konstanti määratud ning pingete avaldised (5.79) saavad kuju

$$\sigma_x = -\rho gy; \quad \sigma_y = (\gamma - 2A) \frac{x}{\tan \beta} + (A - \gamma)y; \quad \tau_{yx} = -Ax, \quad (5.84)$$

kus konstant

$$A = \frac{\rho g}{\tan^2 \beta}. \quad (5.85)$$

Kui teha sama protseduur läbi alternatiivsete pingevaldiste (5.80) jaoks, sis saame rajatingimustest (5.77) tulemuseks avaldised (5.81). Rajatingimused kaldküljel annavad aga valemeist (5.83) erineva tulemuse konstandi  $b_3$  jaoks

$$a_3 = \frac{\gamma}{\tan \beta} - \frac{2\rho g}{\tan^3 \beta}, \quad b_3 = \frac{\rho g}{\tan^2 \beta}. \quad (5.86)$$

Pannes aga avaldistega (5.81) ja (5.86) esitatud konstantide  $a_3, \dots, d_3$  vääritud pingete avaldistesse (5.80) saame sama tulemuse, mis eelmiselgi juhul. Seega võime kokkuvõttes öelda, et vaadeldava ülesande korral on pinged tugiseinas leitavad valemitite (5.84) abil.

Valemi (5.84)<sub>2</sub> põhjal vertikaalküljel  $\sigma_y = (A - \gamma)y$ . Seega selleks, et vältida tõmbepingeid ( $\sigma_y > 0$ ) peab  $A < \gamma$ , kust saame kaldenurga jaoks kriitilise

### *5.8. Hüdrostaatiliselt koormatud tugiseina arvutus.*

204

väärtuse

$$\beta^* = \arctan \sqrt{\frac{\rho g}{\gamma}}. \quad (5.87)$$

Kui  $\beta > \beta^*$ , siis on vertikaalkülg surutud. Võttes vee tiheduseks  $\rho = 1000 \text{ kg/m}^3$  ja seina materjaliks betooni erikaaluga  $\gamma = 2400g \text{ N/m}^3$  saame  $\beta^* = \arctan \sqrt{1000/2400} = 32,8^\circ$ . Erikaalu  $\gamma = 2000g \text{ N/m}^3$  korral saame aga  $\beta^* = 35,2^\circ$ .

Vaatleme nüüd tugiseina lõiget  $y = y_0$ . On selge, et selles lõikes  $0 \leq x \leq y_0 \tan \beta$ . Vastavalt valemeile (5.84) on normaalpinge  $\sigma_x = -\rho gy_0$ , st. konsantne. Teine normaalpinge, st.  $\sigma_y$ , muutub aga väärustusest  $\sigma_y|_{x=0} = (A - \gamma)y_0$  väärustseni  $\sigma_y|_{x=x_0} = -Ay_0$ . Nihkepinge  $\tau_{xy}|_{x=0} = 0 \leq \tau_{xy} \leq \tau_{xy}|_{x=x_0} = -Ay_0 \tan \beta$ .

Tugevusõpetuse kursuse raames saadud valemid, nn. 0-järku lahend, erineb saadust oluliselt pingete  $\sigma_x$  ja  $\tau_{xy}$  osas, kusjuures  $\sigma_y$  langeb kokku:

$$\sigma_x^0 = 0; \quad \sigma_y = \sigma_y^0 \quad \tau_{xy}^0 = -\frac{3\rho g}{\tan^3 \beta} \left( x \tan \beta - \frac{x^2}{y} \right). \quad (5.88)$$

Nihkepinge avaldise puhul on 0-järku teorias lähtutud samadest eeldustest,

mis talade paindel ja saadud paraboolne jaotus.

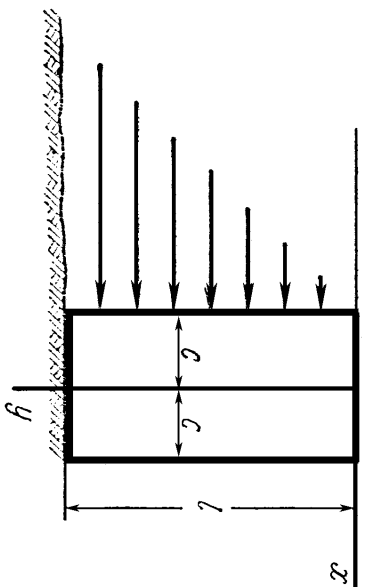
### Märkused:

- Vaadeldava ülesande lahendusele ei anna polünoomi järgu tõstmine mitte mingeid lisaliikmeid — kõik kõrgemat järu liikmed peavad vaadel davate rajatingimuste korral olema nullid.
- Käesoleva lahendi puuhul pole arvestatud vundamendi mõju — tugiseina alumisel osal on lubatud vabalt deformeeruda. Tegelikkuses sõltub aga suuremate  $y$  väärustuste korral vertikaalne deformatsioon vundamen-di jäikusest.
- Kui me sooviksime arvestada ka rajatingimusi tugiseina alumisel osal (seina ja vundamendi kinnituskohas), siis muutuks ülesanne tunduvalt keerukamaks ja teda poleks võimalik lahendada polünoomides.
- Võttes kasutusele kuwendat järu polünoomid, saab leida lahendi ristkülikulise tugiseina (vertikaalse konsooli) jaoks. Seda vaadeldakse järgmises alajaotuses.

#### *5.9. Hüdrostaatiliselt koormatud vertikaalne konsool*

206

### 5.9 Hüdrostaatiliselt koormatud vertikaalne konsool



Joonis 5.25: Vertikaalsele konsoolile mõjuv hüdrostaatiline surve.

Kui üldistada alajaotuses 5.5 esitatud lahendusmetoodikat ja vaadelda 6. järu polünoomi, siis saame leida pingajaotuse hüdrostaatiliselt koormatud vertikaalse konsooli jaoks:

$$\begin{cases} \sigma_x = -\frac{\rho gy}{2} + \rho gy \left( \frac{x^3}{4c^3} - \frac{3x}{4c} \right), & \sigma_y = \frac{\rho gy^3 x}{4c^3} + \frac{\rho g}{4c^3} \left( -2yx^3 + \frac{6}{5}c^2 yx \right), \\ \tau_{xy} = \frac{3\rho g y^2}{8c^3} (c^2 - x^2) - \frac{\rho g}{8c^3} (c^4 - x^4) + \frac{\rho g}{4c^3} \frac{3}{5}c^2 (c^2 - x^2). \end{cases} \quad (5.89)$$

Siin tähistab  $\rho$  vedeliku tihedust ( $\text{kg}/\text{m}^3$ ) ja seega on koormuse intensiivsus sügavusel  $y$  võrdne  $\rho gy$ , põikjõud  $\rho gy^2/2$  ja paindemoment  $\rho gy^3/6$ .  $\sigma_y$  ja  $\tau_{xy}$  avaldiiste esimesed liikmed vastavad jälegi elementaarteooriale.

Konsooli vabal otsal  $y = 0$  on leitud lahendi põhjal normaalpinged nullid. Nihkepinged

$$\tau_{xy} = -\frac{\rho g}{8c^3}(c^4 - x^4) + \frac{\rho g}{4c^3}\frac{3}{5}c^2(c^2 - x^2) \quad (5.90)$$

pole nullid, kuid on väikesed üle kogu pinna ning nende peavektor on ligikaudu null. See võimaldab lugeda väliskoormuse kohal  $y = 0$  nulliks.

Kui tahetakse arvesse võtta ka konsooli materjali omakaal, siis tuleb  $\sigma_y$  avaldisse lisada liige  $-\gamma y$ , kus  $\gamma$  on konsooli materjali erikaal.

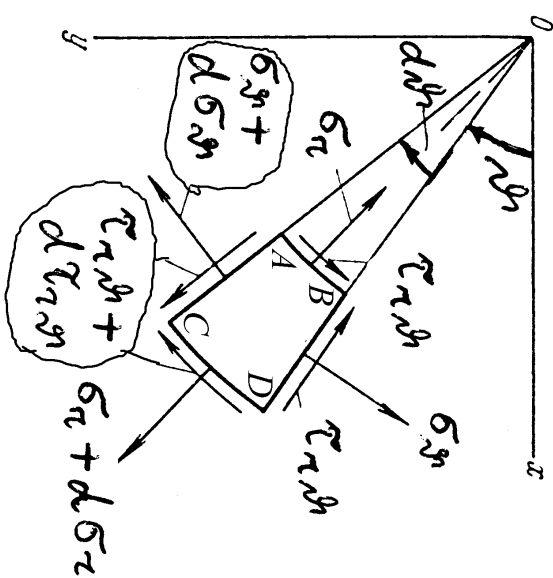
Vaadeldav lahend pärineb Timoshenko ja Goodier õpikust<sup>3</sup> ning tegelikult pole ka sün arvesse võetud vundamendi mõju.

<sup>3</sup>S.P. Timoshenko, J.N. Goodier. Theory of Elasticity. McGraw-Hill, 1970. Venekelne tõlge: Teoria uprugosti, Mir, Moskva, 1975.

### 5.10 Tasapinnalised ülesanded polaarkoordinaatides

208

#### 5.10.1 Tasakaaluvoorrandid ja Airy' pingefunktsoon



Joonis 5.26: Väikese elemendi  $ABCD$  tasakaal.

DRK-s esitatud tasakaaluvoorrandite analoog saadakse kui vaadeldakse elemendi  $ABCD$  tasakaalu ja projekteeritakse tema külgidel mõjuvad sum-

maarsed jõud ja mahujõud  $\vartheta$  ja  $r$  sihile. Minnes üle piirile  $d\vartheta \rightarrow 0$  ja  $dr \rightarrow 0$  saame

$$\begin{cases} \frac{\partial \sigma_r}{\partial r} + \frac{1}{r} \frac{\partial \tau_{r\vartheta}}{\partial \vartheta} + \frac{\sigma_r - \sigma_\vartheta}{r} + f_r = 0, \\ \frac{1}{r} \frac{\partial \sigma_\vartheta}{\partial \vartheta} + \frac{\partial \tau_{r\vartheta}}{\partial r} + \frac{2\tau_{r\vartheta}}{r} + f_\vartheta = 0. \end{cases} \quad (5.91)$$

Sin tähistavad  $f_r$  ja  $f_\vartheta$  mahujõudu projektsioone radiaal ja tangentsiaal suunale ( $r$  ja  $\vartheta$  kasvamise suunale).

Ka siin saab mahujõudu puudumisel sisse tuua Airy' pingefunktsiooni  $\varphi = \varphi(\vartheta, r)$ , nii et

$$\begin{cases} \sigma_r = \frac{1}{r} \frac{\partial \varphi}{\partial r} + \frac{1}{r^2} \frac{\partial^2 \varphi}{\partial \vartheta^2}, & \sigma_\vartheta = \frac{\partial^2 \varphi}{\partial r^2}, \\ \tau_{r\vartheta} = \frac{1}{r^2} \frac{\partial \varphi}{\partial \vartheta} - \frac{1}{r} \frac{\partial^2 \varphi}{\partial r \partial \vartheta} = -\frac{\partial}{\partial r} \left( \frac{1}{r} \frac{\partial \varphi}{\partial \vartheta} \right). \end{cases} \quad (5.92)$$

Nüüd Laplace'i operaator

$$\nabla^2 = \left( \frac{\partial^2}{\partial x^2} + \frac{\partial^2}{\partial y^2} \right) = \left( \frac{\partial^2}{\partial r^2} + \frac{1}{r} \frac{\partial}{\partial r} + \frac{1}{r^2} \frac{\partial^2}{\partial \vartheta^2} \right) \quad (5.93)$$

### *5.10.2. Deformatsioonikomponendid polaarkoordinaatides*

ja biharooniline võrrand

$$\nabla^4 \varphi = \left( \frac{\partial^2}{\partial r^2} + \frac{1}{r} \frac{\partial}{\partial r} + \frac{1}{r^2} \frac{\partial^2}{\partial \vartheta^2} \right)^2 \varphi = 0. \quad (5.94)$$

Kui pingekomponendid ja seega ka  $\varphi$  sõltuvad vaid koordinaadist  $r$ , siis saab võrrandi (5.94) üldlahendi esitada kujul

$$\varphi = A \ln r + B r^2 \ln r + C r^2 + D. \quad (5.95)$$

## 5.10.2 Deformatsioonikomponendid polaarkoordinaatides

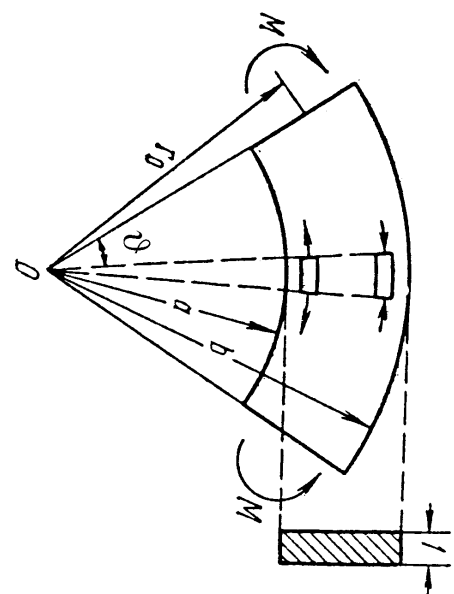
$$\begin{cases} \varepsilon_r = \frac{\partial u}{\partial r}, & \varepsilon_\vartheta = \frac{u}{r} + \frac{1}{r} \frac{\partial v}{\partial \vartheta}, \\ \gamma_{r\vartheta} = \frac{1}{r} \frac{\partial u}{\partial \vartheta} + \frac{\partial v}{\partial r} - \frac{v}{r}. \end{cases} \quad (5.96)$$

Siin mõistetakse suurusi  $u$  ja  $v$  kui radiaalset ja tangentsiaalset siirdekomponenti. Hooke'i seaduse kuju jäääb endiseks:

$$\varepsilon_r = \frac{1}{E} (\sigma_r - \nu \sigma_\vartheta), \quad \varepsilon_\vartheta = \frac{1}{E} (\sigma_\vartheta - \nu \sigma_r), \quad \gamma_{r\vartheta} = \frac{\tau_{r\vartheta}}{G}. \quad (5.97)$$

Sirete määramine toimub analoogiliselt DRK-ga.

## 5.11 Kõvera tala paine



Joonis 5.27: Kõvera tala paine.

Näitena vaatleme kõvera tala puast painet, st. vaatleme tala, mis paindub kõverustasapinnas otstesse rakendatud momentide  $M$  mõjul. Sel juhul jäab paindemoment konstantseks kogu varda pikkuse ulatuses, järelikult sõltub pinge vaid radiaalkoordinaadist  $r$ . Seega saab kasutada lahendit (5.95).

### 5.11. Kõvera tala paine

Rajatingimused:

$$\begin{cases} \sigma_r = 0, & r = a, \quad r = b, \\ \int_a^b \sigma_\vartheta dr = 0, & \int_a^b \sigma_\vartheta r dr = -M \\ \tau_{r\vartheta} = 0, & \text{kõgil rajapindadel.} \end{cases} \quad (5.98)$$

Pärast rajatingimuste (5.98) rahuldamist ja tähistuse

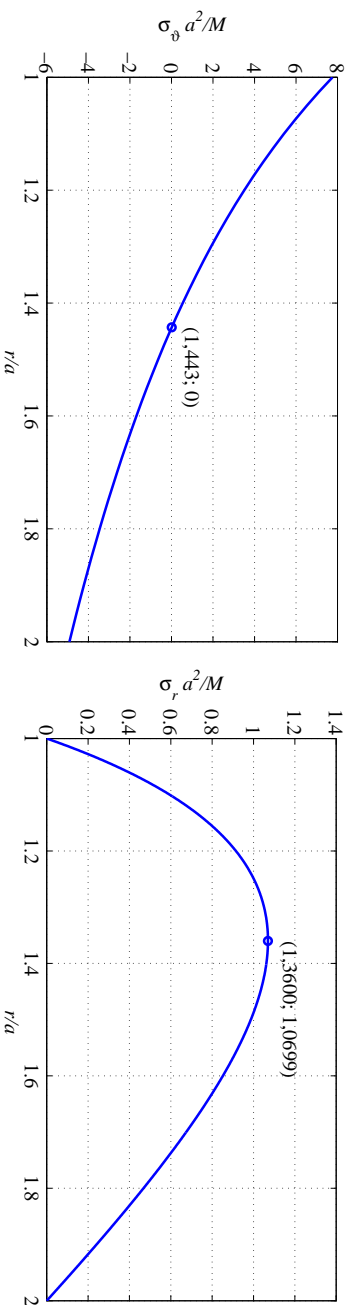
$$N = (b^2 - a^2)^2 - 4a^2b^2 \ln^2 \frac{b}{a} \quad (5.99)$$

sissetoomist saame

$$\begin{cases} \sigma_r = -\frac{4M}{N} \left( \frac{a^2b^2}{r^2} \ln \frac{b}{a} + b^2 \ln \frac{r}{b} + a^2 \ln \frac{a}{r} \right), \\ \sigma_\vartheta = -\frac{4M}{N} \left( -\frac{a^2b^2}{r^2} \ln \frac{b}{a} + b^2 \ln \frac{r}{b} + a^2 \ln \frac{a}{r} + b^2 - a^2 \right), \\ \tau_{r\vartheta} = 0. \end{cases} \quad (5.100)$$

Lahend on täpne vaid siis kui pingegaotus otspindadel vastab avaldsile  $(5.100)_2$ . Muil juhtudel tuleb rakendada Saint-Venanti printsipi.

Joonisel 5.28 on esitatud suurused  $\sigma_\vartheta a^2/M$  ja  $\sigma_r a^2/M$  sõltuvana suhestest  $r/a$  juhul kui  $b/a = 2$ .



Joonis 5.28: Pingete jaotus kõvera tala paindel.

Järeldused: 1)  $\sigma_r > 0$  iga  $r$  puhul vaadeldavas piirkonnas; 2) neutraalne telg vastab  $r/a = 1,443$  ja  $\max \sigma_\vartheta > |\min \sigma_\vartheta|$ ; 3)  $\sigma_r$  maksimum ei asu neutraalsel teljel.

### 5.12 Pöörlev ketas

214

Teiseks näiteks polaarkoordinaatide puhul on pöörleva ketta ülesanne. Vaatleme pöörlevat ketast, mis pöörleb jääva nurkkiirusega  $\omega$ . Ketta paksuse loeme raadiusega  $r$  võrreldes väikeseks. Ainsaks mahujõuks (mida arvesse võtame) on inertsjöud, st.  $f_r = \rho\omega^2 r$  ja  $f_\vartheta = 0$ . Antud juhul on tegu nn. polaarsümmeetrilise ülesandega, kus  $\sigma_r$  ja  $\sigma_\vartheta$  sõltuvad vaid koordinaadist  $r$  ja seega valemi (5.92) põhjal  $\tau_{r\vartheta} = 0$ . Teine tasaakaaluvõrrandeist (5.91) on antud juhul automaatselt rahuldatud ja esimesele saab anda kuju

$$\frac{d}{dr}(r\sigma_r) - \sigma_\vartheta + \rho\omega^2 r^2 = 0. \quad (5.101)$$

Kuna ka  $\varepsilon_r$  ja  $\varepsilon_\vartheta$  on vaid  $r$  funktsioonid, siis (5.96) põhjal

$$\varepsilon_r = \frac{\partial u}{\partial r}, \quad \varepsilon_\vartheta = \frac{u}{r}. \quad (5.102)$$

Hooke'i seadusest (5.97)

$$\sigma_r = \frac{E}{1-\nu^2}(\varepsilon_r - \nu\varepsilon_\vartheta), \quad \sigma_\vartheta = \frac{E}{1-\nu^2}(\varepsilon_\vartheta - \nu\varepsilon_r). \quad (5.103)$$

Asendades nüüd deformatsioonikomponendid (5.102) Hooke'i seadusse (5.103) ning viimase omakorda tasakaaluvõrandisse (5.101) saame diferentsiaalvõrandi siirdekomponendi  $u$  määramiseks:

$$r^2 \frac{d^2 u}{dr^2} + r \frac{du}{dr} - u = -\frac{1-\nu^2}{E} \rho \omega^2 r^3. \quad (5.104)$$

Selle diferentsiaalvõrandi üldlahend avaldub kujul

$$u = \frac{1}{E} \left[ (1-\nu)Cr - (1+\nu)C_1 \frac{1}{r} - \frac{1-\nu^2}{8} \rho \omega^2 r^3 \right]. \quad (5.105)$$

Vastavad pingekomponendid

$$\begin{cases} \sigma_r = C + C_1 \frac{1}{r^2} - \frac{3+\nu}{8} \rho \omega^2 r^2, \\ \sigma_\vartheta = C - C_1 \frac{1}{r^2} - \frac{1+3\nu}{8} \rho \omega^2 r^2. \end{cases} \quad (5.106)$$

Konstandid  $C$  ja  $C_1$  määratatakse rajatingimustest.

Täisketta (ilma auguta keskel) puhul vastab  $r=0$  siire  $u=0$ , seega  $C_1=0$ . Ketta serval  $r=b$  jõudude puudumisel  $\sigma_r=0$ , seega

$$C = \frac{3+\nu}{8} \rho \omega^2 b^2. \quad (5.107)$$

### 5.12. Pöörlev ketas

216

Seega pingekomponendid

$$\begin{cases} \sigma_r = \frac{3+\nu}{8} \rho \omega^2 (b^2 - r^2) \\ \sigma_\vartheta = \frac{3+\nu}{8} \rho \omega^2 b^2 - \frac{1+3\nu}{8} \rho \omega^2 r^2 \end{cases} \quad (5.108)$$

Plaadi keskel on neil pingetel maksimaalne väärthus

$$\sigma_r = \sigma_\vartheta = \frac{3+\nu}{8} \rho \omega^2 b^2. \quad (5.109)$$

Kui ketta keskel on ava raadiusega  $a$ , siis konstandid  $C$  ja  $C_1$  määratatakse rajatingimustest  $\sigma_r|_{r=a} = \sigma_r|_{r=b} = 0$  —

$$C = \frac{3+\nu}{8} \rho \omega^2 (a^2 + b^2), \quad C_1 = -\frac{3+\nu}{8} \rho \omega^2 a^2 b^2. \quad (5.110)$$

Pingekomponendid

$$\begin{cases} \sigma_r = \frac{3+\nu}{8} \rho \omega^2 \left( b^2 + a^2 - \frac{a^2 b^2}{r^2} - r^2 \right), \\ \sigma_\vartheta = \frac{3+\nu}{8} \rho \omega^2 \left( b^2 + a^2 + \frac{a^2 b^2}{r^2} - \frac{1+3\nu}{3+\nu} r^2 \right). \end{cases} \quad (5.111)$$

Radiaalpinge  $\sigma_r$  on nüiid maksimaalne kohal  $r = \sqrt{ab}$  ja tangentsiaalpinge (rõngaspinge, i.k. *hoop stress*)  $\sigma_\vartheta$  sisemisel serval

$$\begin{cases} \max \sigma_r = \frac{3+\nu}{8} \rho \omega^2 (b-a)^2, \\ \max \sigma_\vartheta = \frac{3+\nu}{4} \rho \omega^2 \left( b^2 + \frac{1-\nu}{3+\nu} a^2 \right). \end{cases} \quad (5.112)$$

Kui  $a \rightarrow 0$ , siis  $\max \sigma_\vartheta$  läheneb väärusele, mis on kaks korda suurem kui avaldisega (5.109) esitatud väärus. Seega kui teha täsketta tsentrisse väike ava, siis suurenib tangentsiaalpinge plaadi tsentris kaks korda.

### *5.13. Radiaalne pingus.*

218

Küllaltki tihti esineb ülesandeid, kus igas keha punktis on nullist erinev vaid radiaalne pinge  $\sigma_r$ . Sellist pingust nimetatakse *radiaalseks pinguseks*. Antud juhul saab esitada pinge  $\sigma_r(r, \vartheta)$  kahe funktsiooni korruutisena:

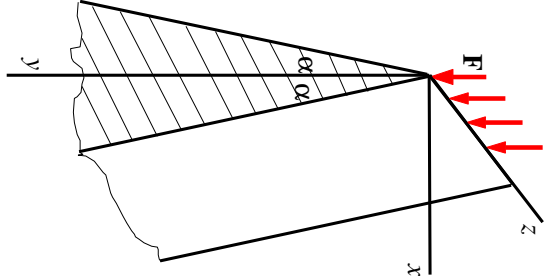
$$\sigma_r(r, \vartheta) = \varphi(r)\psi(\vartheta). \quad (5.113)$$

Pannes viimase tasakaalu- ja pidevusvõrandeisse ning integreerides, saame radiaalse pinguse jaoks pingekomponentide avaldised

$$\sigma_r(r, \vartheta) = -\frac{k}{r} \cos(\vartheta - \vartheta_0), \quad \sigma_\vartheta = \tau_{r\vartheta} = 0, \quad (5.114)$$

kus integreerimiskonstandid  $k$  ja  $\vartheta_0$  määratakse rajatingimustest.

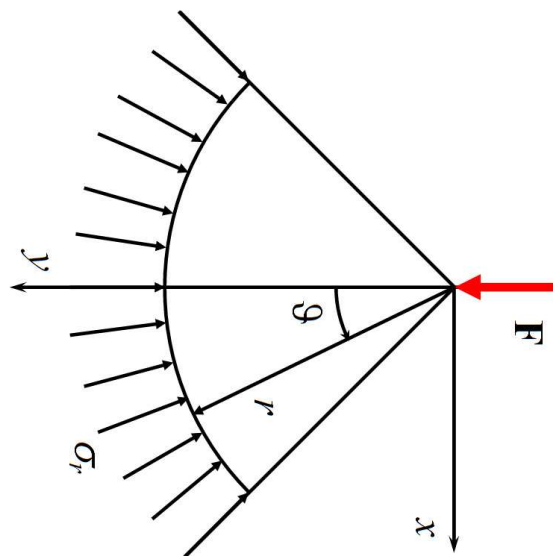
## 5.14 Kiilu surve.



Joonis 5.29: Sümmeetriatases mõjuv joud.

### 5.14. Kiilu surve.

Vaatleme lõpmata pikka sümmeetrist kiili (joonis 5.29), mille sümmeetriatasandis mõjub joonkoormus  $\mathbf{F}$ . Kiilu tipunurgaga tähistame  $2\alpha$ . Analoogiliselt tugiseina arvutusega, hülgame raiatingimused kiili alaservas ja vaatleme  $0 \leq y \leq \infty$ .



### 220

Võtame kasutusele polaarkoordinaadid  $r$  ja  $\vartheta$  (joonis 5.30). Sellisel juhul on tegu radiaalse pingusega ja pingekomponendid on esitatavad kujul (5.114). Konstantide  $k$  ja  $\vartheta_0$  määrmiseks tuleb kõik jooni sel 5.30 kujutatud joud (ja pinged) projekteerida koordinaatide  $r$  ja  $\vartheta$  (või  $x$  ja  $y$  sihile). Kuna välisjoud on vaadeldaval juhul vertikaalne (ja mõjub sümmeetriatasandis), siis on konstant  $\vartheta_0 = 0$ . Konstandi  $k$  määramiseks projekteeritakse  $\mathbf{F}$  ja  $\sigma_r$   $y$ -teljele:

$$F - \int_{-\alpha}^{\alpha} \sigma_r(\cos \vartheta) r d\vartheta = 0, \quad (5.115)$$

Joonis 5.30: Sümmeetriilisele kiilule mõjuv joud, radiaalne pinge, polaar ja ristkoordinaadid.

kust arvestades (5.114) saame

$$F - \int_{-\alpha}^{\alpha} \frac{k}{r} \cos^2 \vartheta r d\vartheta = 0, \quad \Rightarrow \quad k = \frac{2F}{2\alpha + \sin 2\alpha}. \quad (5.116)$$

Kokku saame seega lahendi kujul:

$$\sigma_r = -\frac{2F}{2\alpha + \sin 2\alpha} \frac{\cos \vartheta}{r}, \quad \sigma_\vartheta = \tau_{r\vartheta} = 0. \quad (5.117)$$

Kuna valemite (5.114) tuletamisel kasutati nii tasakaalu kui pidevuse võrrandeid, siis rahuldab ka vaadeldava ülesande lahend (5.117) nii tasakaalu kui pidevuse võrrandeid.

#### *5.14. Kiilu surve.*

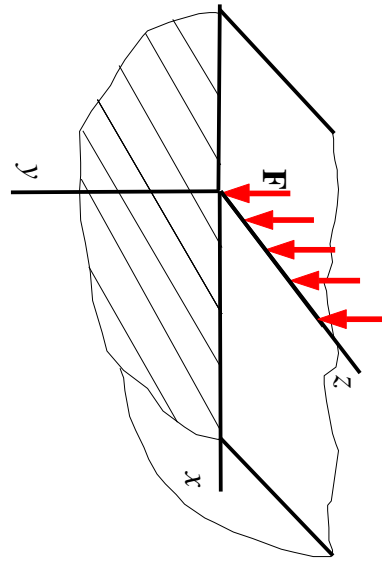
Praktiliste probleemide korral (vt. näiteks järgmist alajaotust) on siiski ots tarbekas kasutada koordinaate  $x$  ja  $y$ . Üleminekuks on järgmised valemid:

$$\begin{cases} \sigma_x = \sigma_r l^2 + \sigma_\vartheta m^2 + 2\tau_{r\vartheta} lm, \\ \sigma_y = \sigma_r l_1^2 + \sigma_\vartheta m_1^2 + 2\tau_{r\vartheta} l_1 m_1, \\ \tau_{xy} = \sigma_r ll_1 + \sigma_\vartheta mm_1 + \tau_{r\vartheta}(lm_1 + l_1 m), \end{cases} \quad (5.118)$$

$$\begin{cases} l = \cos(r, x) = \sin \vartheta, \\ m = \cos(\vartheta, x) = \cos \vartheta, \\ l_1 = \cos(r, y) = \cos \vartheta, \\ m_1 = \cos(\vartheta, y) = -\sin \vartheta \end{cases} \begin{cases} r = \sqrt{x^2 + y^2}, \\ \sin \vartheta = \frac{x}{\sqrt{x^2 + y^2}}, \\ \cos \vartheta = \frac{y}{\sqrt{x^2 + y^2}}. \end{cases} \quad (5.119)$$

Kokku saame kolm koordinaatidele  $x$  ja  $y$  vastavat pingekomponentti

$$\sigma_x = -\frac{kx^2 y}{(x^2 + y^2)^2}, \quad \sigma_y = -\frac{k y^3}{(x^2 + y^2)^2}, \quad \tau_{xy} = -\frac{k x y^2}{(x^2 + y^2)^2}. \quad (5.120)$$



Vaatleme elastset keskkonda, mis on piiratud koordinaattasandiga  $(x, z)$  ja milles mõjub piki  $z$  telge rakendatud jõud  $\mathbf{F}$ . Selline ülesanne on tuntud *Flamant'i ülesandena* ja ta kujutab endast eelmises alajaotuses vaadeldud kiili ülesande erijuhtu, kus nurk  $\alpha = \pi/2$ . Järelkult kõstant  $k = 2F/\pi$  ja pingekomponendid poolarkoordinaatides

Joonis 5.31: Elastsele poolruumile mõjuv koondatud jõud.

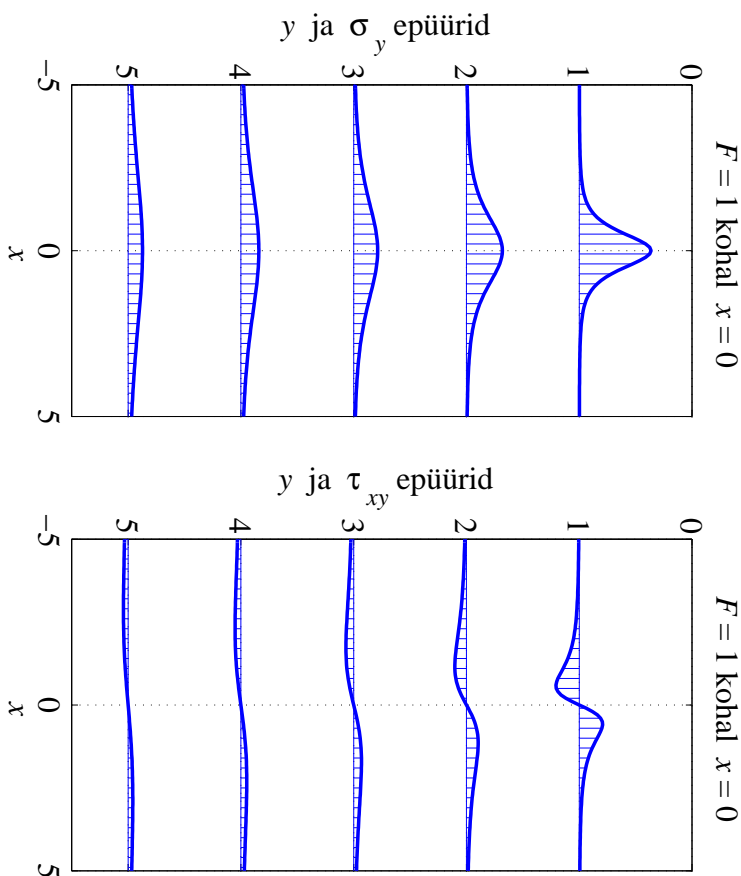
$$\sigma_r = -\frac{2F \cos \vartheta}{\pi r}, \quad \sigma_\vartheta = \tau_{r\vartheta} = 0 \quad (5.121)$$

ning ristkoordinaatides

$$\sigma_x = -\frac{2Fx^2y}{\pi(x^2+y^2)^2}, \quad \sigma_y = -\frac{2Fy^3}{\pi(x^2+y^2)^2}, \quad \tau_{xy} = -\frac{2Fxy^2}{\pi(x^2+y^2)^2}. \quad (5.122)$$

### 5.15. Koondatud jõu mõju poolruumile

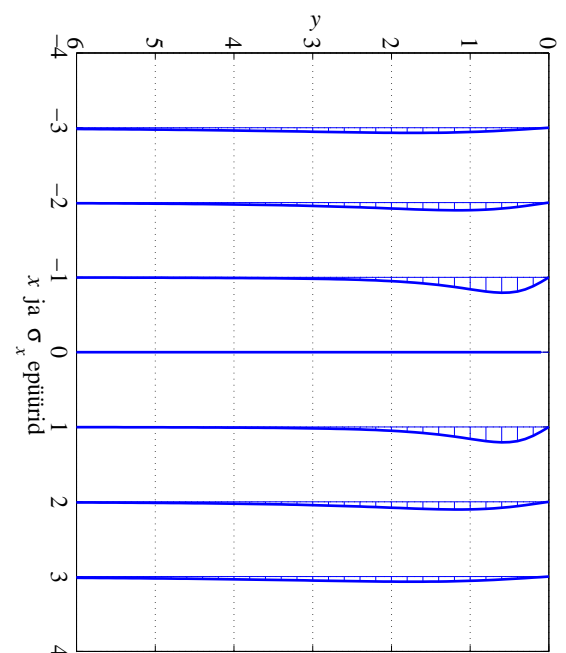
224



On selge, et vaadel davaas piirkonnas on normaalpinged negatiivsed iga  $x$  ja  $y$  korral, nihkepinge  $\tau_{xy}$  aga muudab jõu rakenduspunkti kohal oma märki: negatiivsete  $x$  korral on  $\tau_{xy} > 0$  ja positiivsete  $x$  korral on  $\tau_{xy} < 0$ .

Joonisel 5.32 on esitatumud normaalpinge  $\sigma_y$  ja nihkepinge  $\tau_{xy}$  epüürid koordinaadi  $y$  flikseeritud väärustel  $y_0 = 1, 2, \dots, 5$ .

Joonis 5.32: Normaalinge  $\sigma_y$  ja nihkepinge  $\tau_{xy}$  epüürid kordaadi  $y$  flikseeritud väärustuse jaoks kohal  $x = 0$  mõjuva ühikulise jõu  $\mathbf{F}$  korral.



Joonis 5.33: Normaapinge  $\sigma_x$  epüürid koordinaadi  $x$  fikseeritud väärustuse jaoks kohal  $x = 0$  mõjuva ühikulise jõu  $\mathbf{F}$  korral.

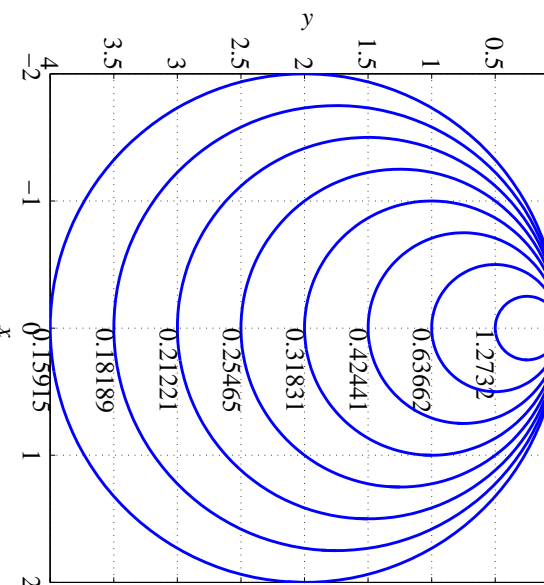
Joonisel 5.33 on esitatud normaapinge  $\sigma_x$  epüürid koordinaadi  $x$  fikseeritud väärustuste  $x_0 = -3, -2, -1, 1, 2, 3$  jaoks.

Fikseeritud  $y$  korral omab normaapinge  $\sigma_y$  ekstreemaalset väärustust kohal  $x = 0$ , ja nihkepinge  $\tau_{xy}$  kohal  $|x| = y_0/\sqrt{3}$ . Analoogiiliselt, fikseeritud  $x$  korral omab normaapinge  $\sigma_x$  ekstreemaalset väärustust kohal  $y = x_0/\sqrt{3}$ .

### 5.15. Koondatud jõu mõju poolruumile

226

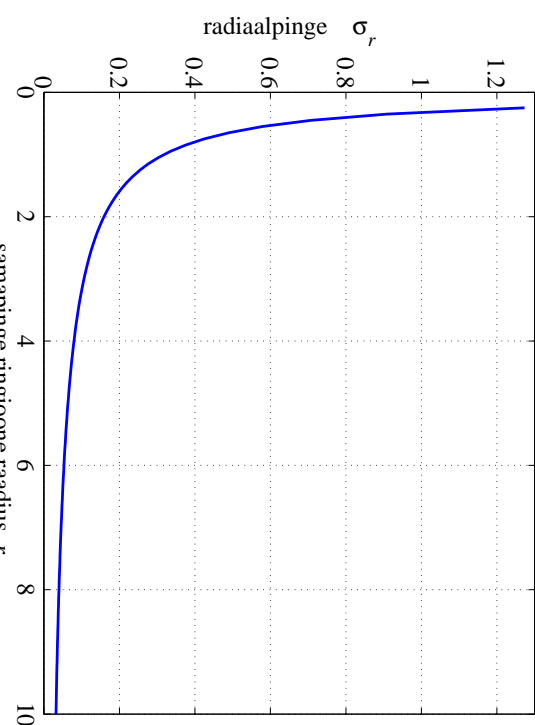
Samapinge jooned radiaalpingele  $\sigma_r$ ;  $F = 1$



Joonis 5.34: Radiaalpinge  $\sigma_r$  samapinge jooned kohal  $x = 0$  mõjuva ühikjõu  $\mathbf{F}$  korral.

Joonisel 5.34 on esittatud radiaalpinge  $\sigma_r$  samapinge jooned — ringjoonel raadiusega  $r_0$  on radiaalpinge  $\sigma_r = -F/\pi r_0$ . Kõik sellised ringjooned puutuvad  $x$ -telge jõu  $\mathbf{F}$  rakenduspunktis.

Sellise graafilise radiaalpinge esituse andis esmakordelt Joseph Boussinesq ning seetõttu nimetatakse neid ringe *Boussinesqi ringideks*.



Joonis 5.35: Radiaalpinge  $\sigma_r$  sõltuvana samapinge joone raadiusest  $r_0$ .

Joonisel 5.35 on näidatud kuidas sõltub radiaalpinge  $\sigma_r$  samapinge joone raadiusest  $r_0$ .

### 5.15. Koondatud jõu mõju poolruumile

228

Valemeid (5.121) ja (5.122) võib kasutada selleks, et hinnata vundamenti aluseid pingeid pinnases. Kuigi pinnas üldiselt ei käitu elasttselt, on siiski leitud, et väikste sisepingete korral on kõgil pinnastel rakendatav lineaarne elastsusteooria.

Eelpool vaadeldud lahend on lihtsalt üldistatav suvalise joonkoormuse  $p(x)$  jaoks, mis mõjub lõigul  $[a, b]$ . Esmalt vaatleme juhtu, kus koondatud jõud  $\mathbf{F}$  ei mõju mitte koordinaatide alguses, vaid punktis  $x = x_0$ . Sel juhul saavad valemid (5.122) kuju

$$\sigma_x = -\frac{2F\xi^2y}{\pi(\xi^2 + y^2)^2}, \quad \sigma_y = -\frac{2Fy^3}{\pi(\xi^2 + y^2)^2}, \quad \tau_{xy} = -\frac{2F\xi y^2}{\pi(\xi^2 + y^2)^2} \quad (5.123)$$

kus  $\xi = x - x_0$ .

Selleks, et arvutada lõigul  $a \leq x \leq b$  mõjuvast joonkoormusest  $p(x)$  põhjustatud pingeid, tuleb saadud valemites teha asendus  $F = p(\xi)d\xi$  ja integreerida lõigul  $[a, b]$ .

Juhul kui  $p = \text{const.}$ , saame

$$\begin{aligned} \sigma_x &= -\frac{2p}{\pi} \int_{x=a}^{x=b} \frac{\xi^2 y}{(\xi^2 + y^2)^2} d\xi = -\frac{p}{\pi} \left( \arctan \frac{\xi}{y} - \frac{y\xi}{\xi^2 + y^2} \right) \Big|_{x=a}^{x=b} = \\ &= -\frac{p}{\pi} \left[ \arctan \frac{(x-b)}{y} - \arctan \frac{(x-a)}{y} - \frac{y(x-b)}{(x-b)^2 + y^2} + \frac{y(x-a)}{(x-a)^2 + y^2} \right], \end{aligned} \quad (5.124)$$

$$\begin{aligned} \sigma_y &= -\frac{2p}{\pi} \int_{x=a}^{x=b} \frac{y^3}{(\xi^2 + y^2)^2} d\xi = -\frac{p}{\pi} \left( \arctan \frac{\xi}{y} + \frac{y\xi}{\xi^2 + y^2} \right) \Big|_{x=a}^{x=b} = \\ &= -\frac{p}{\pi} \left[ \arctan \frac{(x-b)}{y} - \arctan \frac{(x-a)}{y} + \frac{y(x-b)}{(x-b)^2 + y^2} - \frac{y(x-a)}{(x-a)^2 + y^2} \right], \end{aligned} \quad (5.125)$$

### 5.15. Koondatud jõu mõju poolruumile

230

$$\begin{aligned} \tau_{xy} &= -\frac{2p}{\pi} \int_{x=a}^{x=b} \frac{\xi y^2}{(\xi^2 + y^2)^2} d\xi = \frac{p}{\pi} \frac{y^2}{\xi^2 + y^2} \Big|_{x=a}^{x=b} = \\ &= \frac{p}{\pi} \left[ \frac{y^2}{(x-b)^2 + y^2} - \frac{y^2}{(x-a)^2 + y^2} \right]. \end{aligned} \quad (5.126)$$

Saadud valemite (5.124)–(5.126) abil on võimalik hinnata pingeid vundamendi alus pinnases.

Jaan Metsaveere koostatud õppetööhendis<sup>4</sup> on välja pakutud alternatiivne valemid

$$\sigma_y^* = \frac{p}{\pi \sqrt{a^2 - x^2}}, \quad (5.127)$$

kus  $p$  on alusmõõri pikkusühikule mõjuv koormus,  $2a$  vundamendi pikkus ja  $-a \leq x \leq a$ . See valemid baseerub ideel määra vundamendi ja pinnase valeline rõhk, mis põhjustab ühtlase vertikaalsiirde kogu vundamendi ulatuses. Viimase valemi põhjal peaks vundamendi servades  $x = \pm a$  tekima lõpmata suured pinged. Tegelikkuses selline olukord ei realiseeru — juba suhteliselt väikste pingete juures tekkivad  $x = \pm a$  ümbruses plastsed deformatsioonid ning tegelik pingegaotus on tunduvalt ühtlasem.

<sup>4</sup>J. Metsaveer, Plaatide arvutus ja tasandilisesanne, Tallinn, 1987

## 5.16 Näide: joonkoormuse mõju poolruumile

**Ülesanne.** Poolruumile mõjub lõigul  $-5 \leq x \leq 5$  kontsantne joonkoormus  $p = 1$ . Leida normaalpinged  $\sigma_x$ ,  $\sigma_y$  ja  $\tau_{xy}$  koordinaatide  $x$  ja  $y$  filseeritud väärustuste jaoks kasutades eelmises alajaotuses toodud valemeid.

*Lahendus.*

1. Normaalpinge  $\sigma_y$  arvutamiseks saab kasutada valemeid (5.125), (5.123)<sub>2</sub> või (5.127).

- Valem (5.125) võimaldab leida pinge  $\sigma_y$  väärusti iga  $y$  ja  $x$  jaoks.
- Valemi (5.123)<sub>2</sub> rakendamiseks tuleb lõik  $-5 \leq x \leq 5$  jagada  $n$  võrdseks osalõiguks pikkusega  $\Delta x = 2a/n$  ja joonkoormus  $n+1$  koondatud jõuks. Osalõikude otstes  $x_i = -a + i\Delta x$ , ( $i = 0, \dots, n$ ) mõjuvad sel juhul koondatud jõud  $F_i = 2ap/(n+1)$ . Iga jõud  $F_i$  põhjustab pinge  $\sigma_y(F_i)$ . Seega, rakendades superpositsiooni printsipi, avaldub  $n+1$  jõust põhjustatud pinge summana  $\sigma_y = \sum_{i=0}^n \sigma_y(F_i)$ .
- Valem (5.127) on mõeldud pingete arvutamiseks vahetult vundamendi all ning seetõttu pole seal koordinaati  $y$ .

---

### 5.16. Näide: joonkoormuse mõju poolruumile

- Tulemused on esitatud joonistel 5.36–5.38. Joonisel 5.36 on osalõikude arv  $n = 100$ , joonisel 5.37  $n = 20$  ja joonisel 5.38  $n = 10$ . Punane punktiirjoon vastab valemile (5.125), violetne kriipsjoon valemile (5.127) ja sinine pidev joon valemile (5.123)<sub>2</sub>.

2. Nihkepinge  $\tau_{xy}$  arvutamiseks saab kasutada valemeid (5.126) või (5.123)<sub>3</sub>.

- Valemi (5.126) abil leida pinge  $\tau_{xy}$  väärusti iga  $y$  ja  $x$  jaoks.
- Analoogiliselt normaalpingega  $\sigma_y$ , tuleb valemi (5.123)<sub>3</sub> rakendamiseks lõik  $-5 \leq x \leq 5$  jagada  $n$  võrdseks osalõiguks ja joonkoormus  $n+1$  koondatud jõuks. Kokku saame näüd  $\tau_{xy} = \sum_{i=0}^n \tau_{xy}(F_i)$ .
- Tulemused on esitatud joonistel 5.36–5.38. Joonisel 5.36 on osalõiku de arv  $n = 100$ , joonisel 5.37  $n = 20$  ja joonisel 5.38  $n = 10$ . Punane punktiirjoon vastab valemile (5.126) ja sinine pidev joon valemile (5.123)<sub>3</sub>.

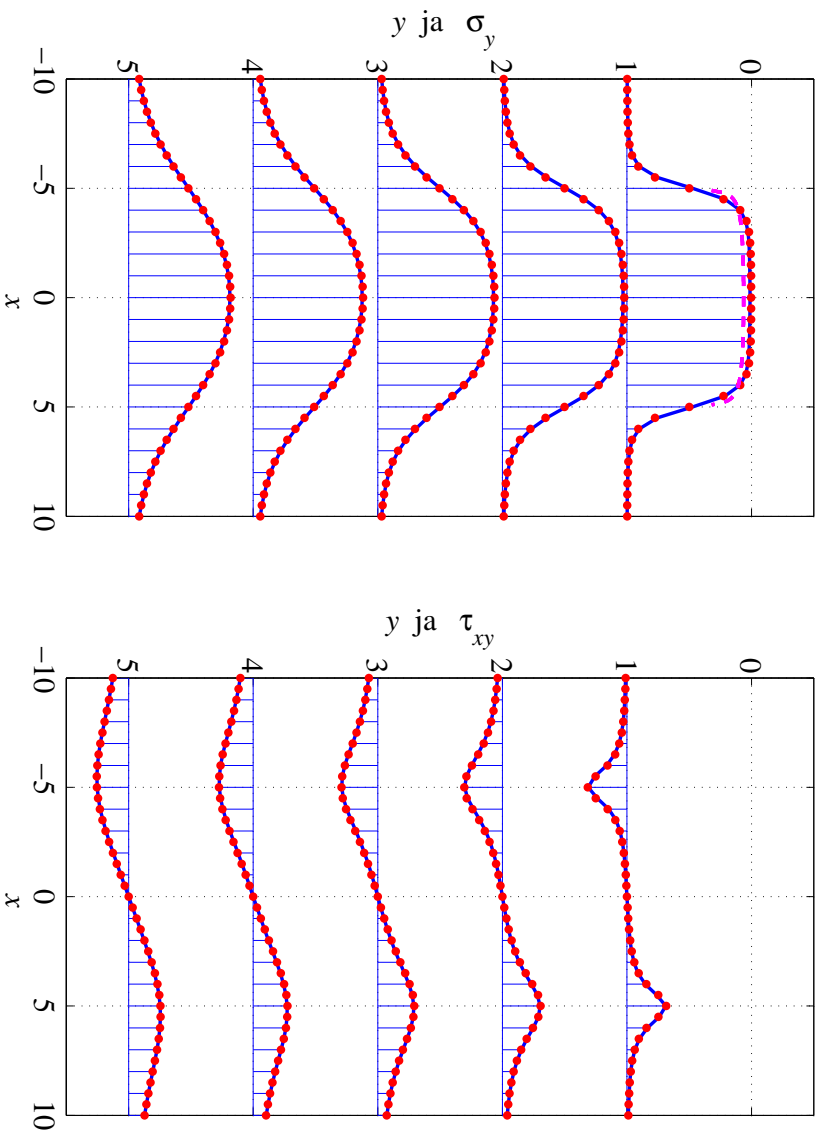
3. Normaalpinge  $\sigma_x$  arvutamiseks saab kasutada valemeid (5.124) või (5.123)<sub>1</sub>.

- Valemite (5.124) ja (5.123)<sub>1</sub> kasutamise põhimõtted on samad, mis eelnevatel juhtudel.
- Tulemused on esitatud joonistel 5.39–5.41. Joonisel 5.39 on osalõikude arv  $n = 100$ , joonisel 5.40  $n = 20$  ja joonisel 5.41  $n = 10$ . Punane punktiirjoon vastab valemile (5.124) ja sinine pidev joon valemile (5.123)<sub>1</sub>.

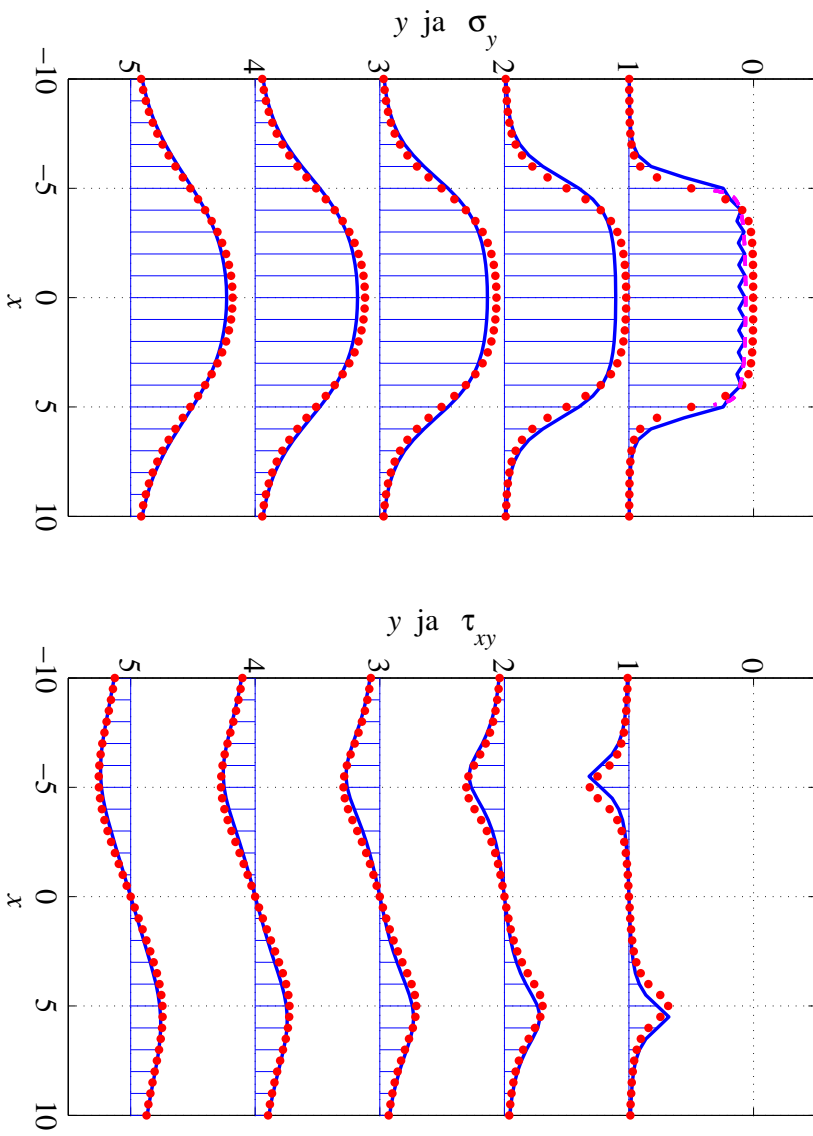
4. Joonistel 5.42–5.44 on lisaks esitatud samapingejooned pingetele  $\sigma_x$ ,  $\sigma_y$  ja  $\tau_{xy}$  piirkonnas  $-10 \leq x \leq 10$ ,  $0 < y \leq 5$ .

### 5.16. Näide: joonkoormuse mõju poolruumile

234



Joonis 5.36: Normaalpinge  $\sigma_y$  ja nihkepinge  $\tau_{xy}$  epüürid koordinaadi  $y$  fikseeritud väärustuse jaoks lõigul  $-5 \leq x \leq 5$  mõjuva ühikulise joonkoormuse korral, osaloikude arv  $n = 100$ .

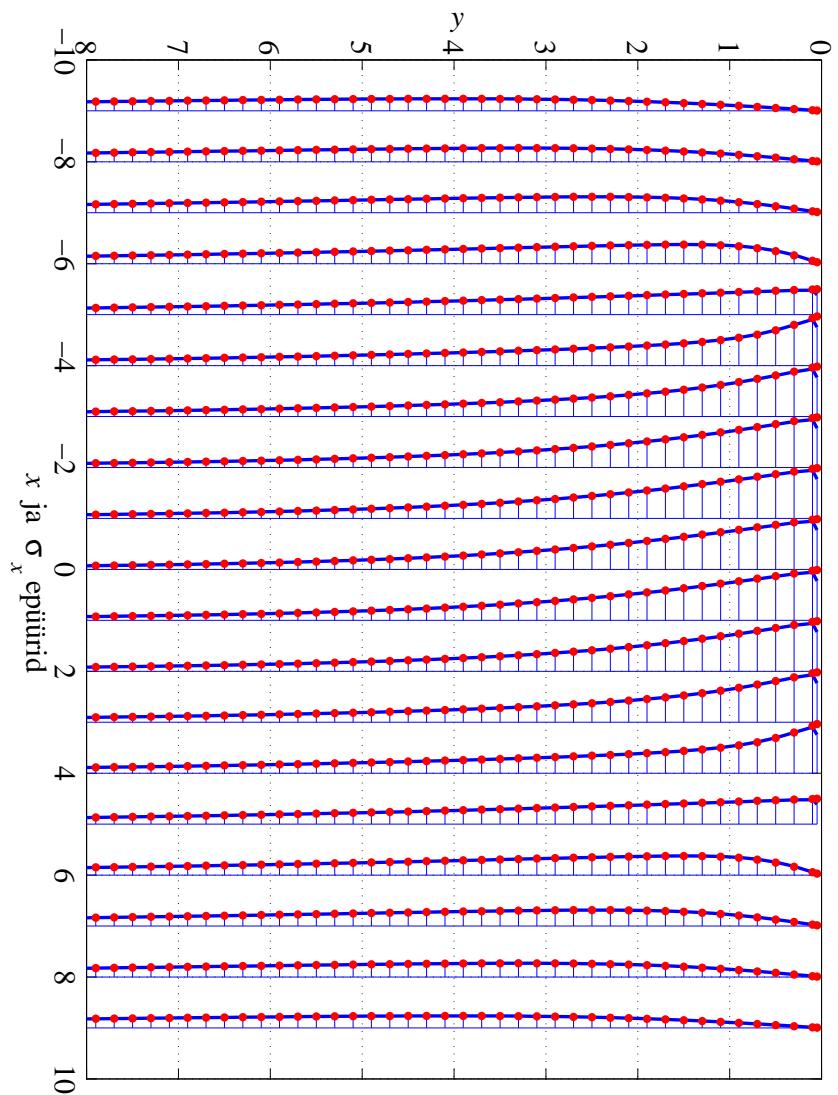


Joonis 5.38: Normaalapinge  $\sigma_y$  ja nihkepinge  $\tau_{xy}$  epüürid koordinaadi  $y$  fikseeritud väärustuste jaoks lõigul  $-5 \leq x \leq 5$  mõjuva ühikulise joonkoormuse korral, osaloikude arv  $n = 10$ .

### 5.16. Näide: joonkoormuse mõju poolruumile

236

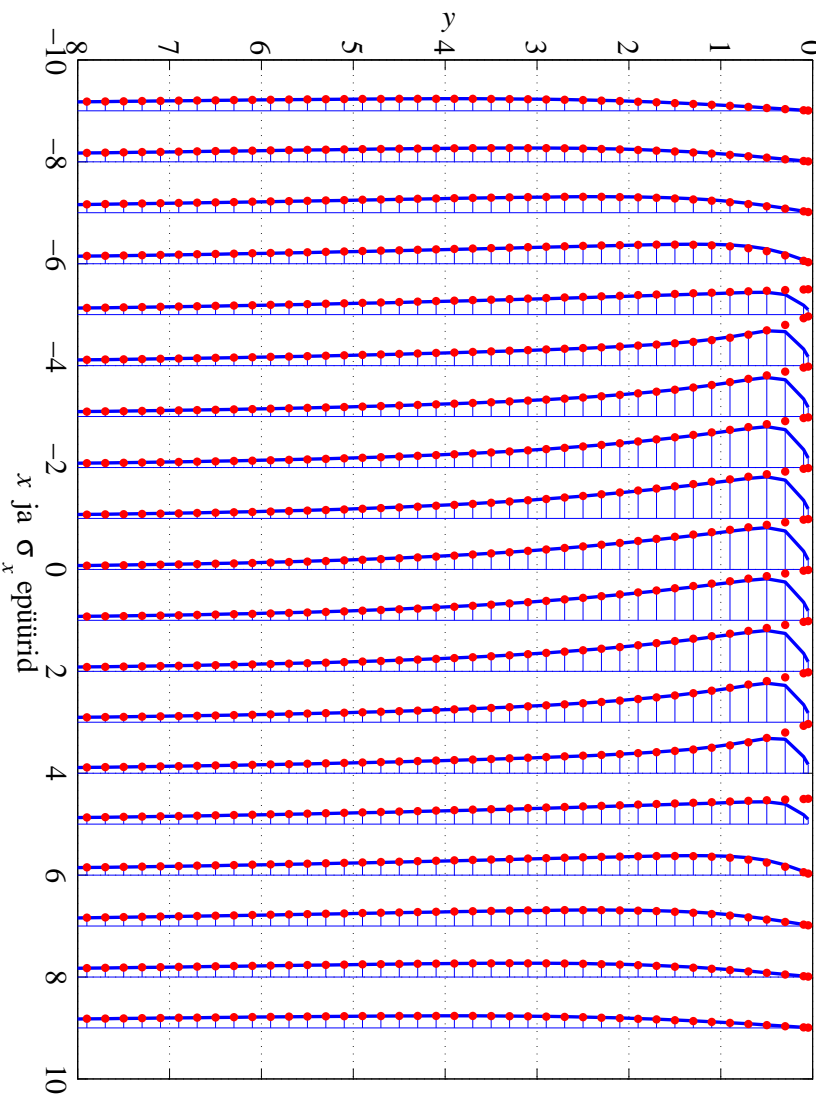
Joonis 5.37: Normaalapinge  $\sigma_y$  ja nihkepinge  $\tau_{xy}$  epüürid koordinaadi  $y$  fikseeritud väärustuste jaoks lõigul  $-5 \leq x \leq 5$  mõjuva ühikulise joonkoormuse korral, osaloikude arv  $n = 20$ .



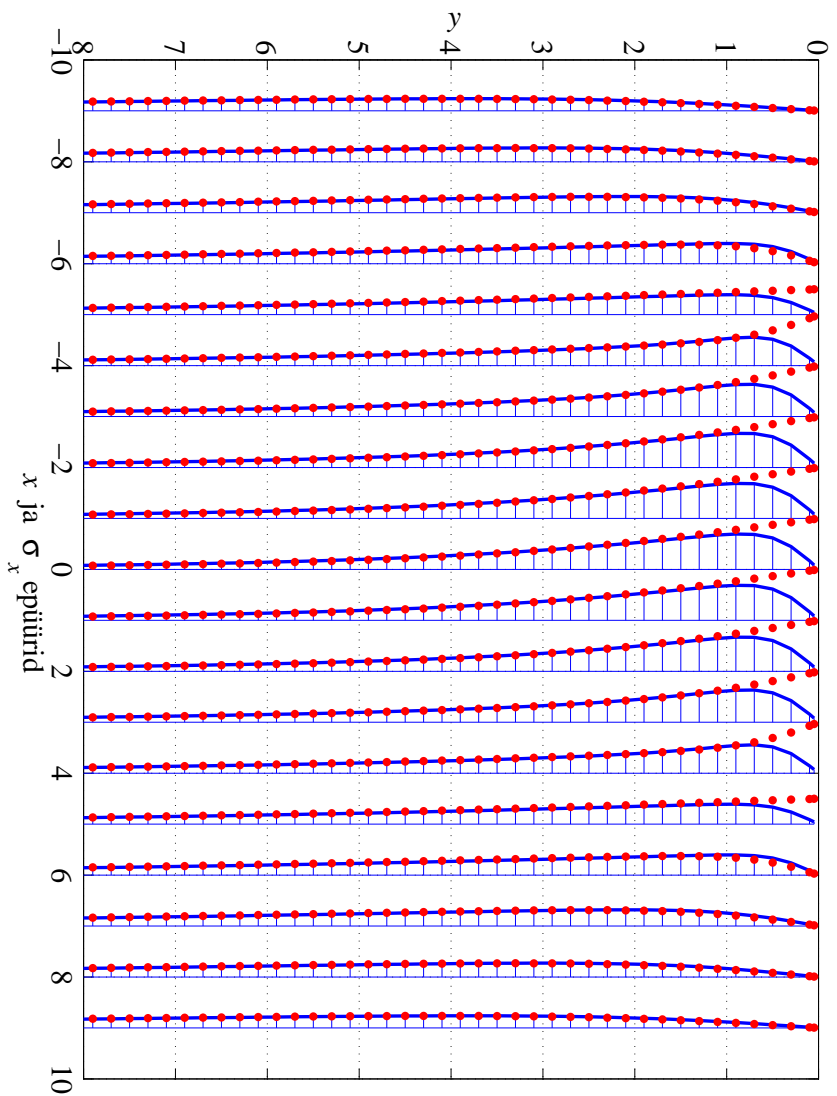
Joonis 5.39: Normaalinge  $\sigma_x$  epüürid koordinaadi  $x$  flkseeritud väärustele jaoks lõigul  $-5 \leq x \leq 5$  mõjuva ühikulise joonkoormuse korral, osalõikude arv  $n = 100$ .

### 5.16. Näide: joonkoormuse mõju poolruumile

238



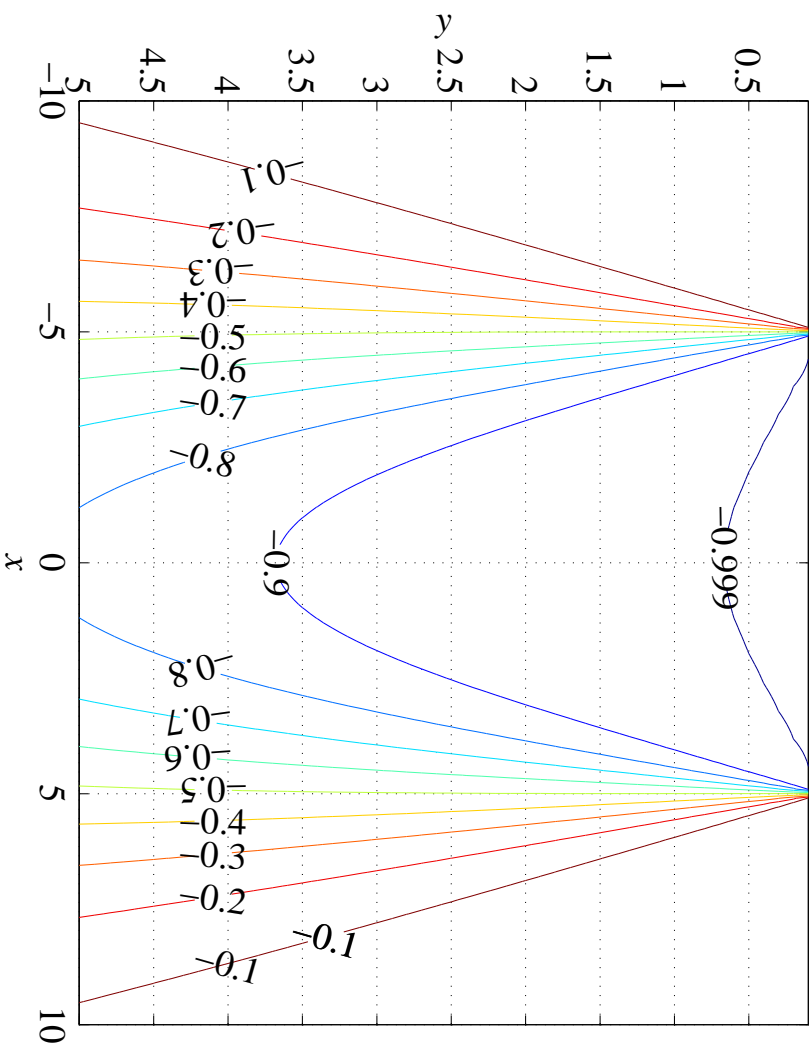
Joonis 5.40: Normaalinge  $\sigma_x$  epüürid koordinaadi  $x$  flkseeritud väärustele jaoks lõigul  $-5 \leq x \leq 5$  mõjuva ühikulise joonkoormuse korral, osalõikude arv  $n = 20$ .



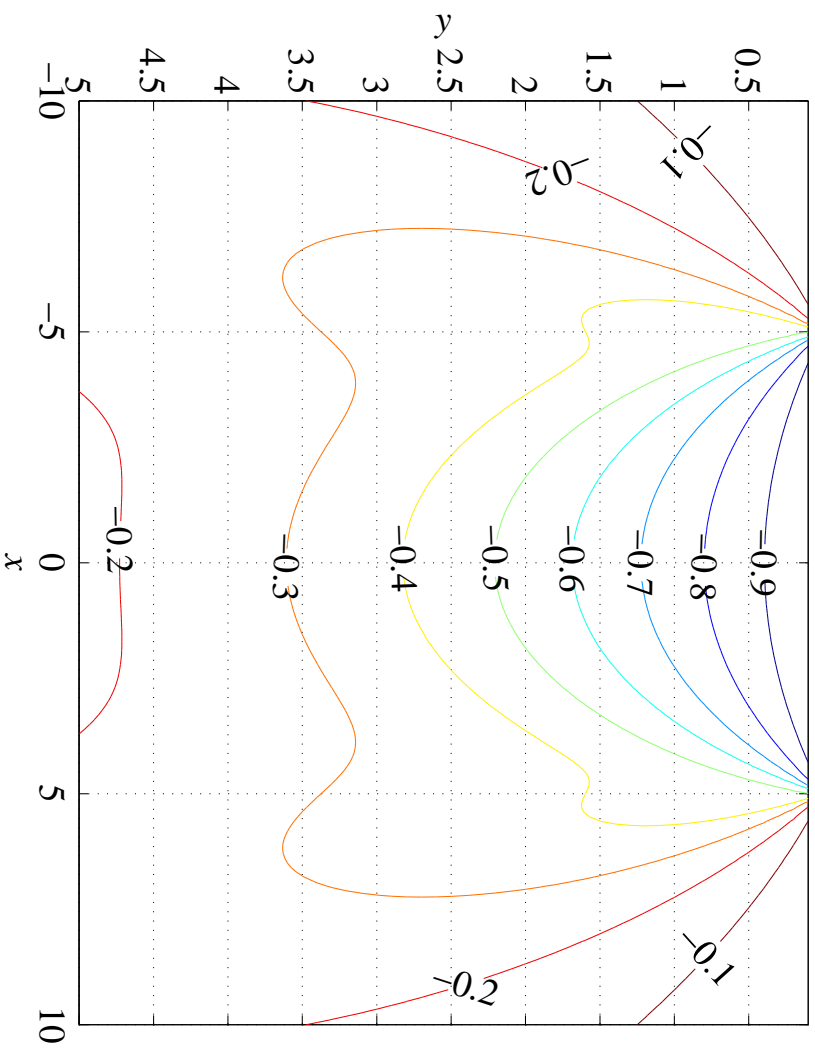
Joonis 5.41: Normaapinge  $\sigma_x$  epüürid koordinaadi  $x$  flkseeritud väärustele jaoks lõigul  $-5 \leq x \leq 5$  mõjuva ühikulise joonkoormuse korral, osalõikude arv  $n = 10$ .

### 5.16. Näide: joonkoormuse mõju poolruumile

240



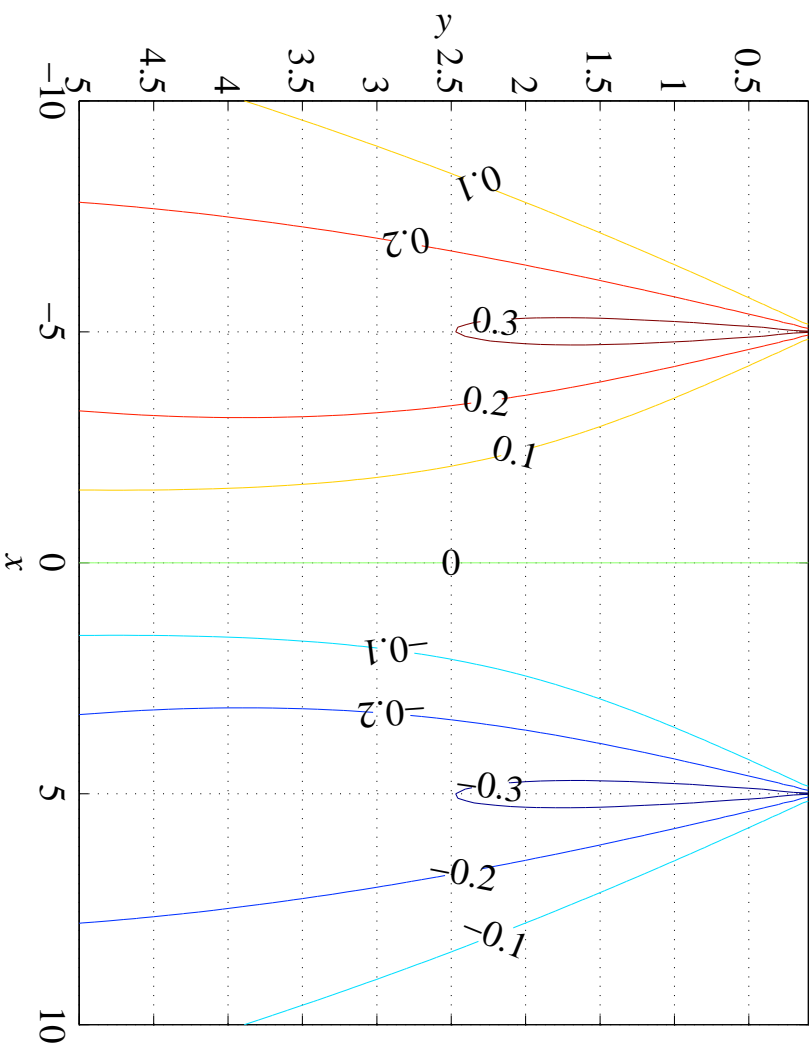
Joonis 5.42: Samapingejooned normaapinge  $\sigma_y$  jaoks.



Joonis 5.43: Samapingejooned normaalpinge  $\sigma_x$  jaoks.

5.16. Näide: joonkoormuse mõju poolruumile

242



Joonis 5.44: Samapingejooned nihkepinge  $\tau_{xy}$  jaoks.